

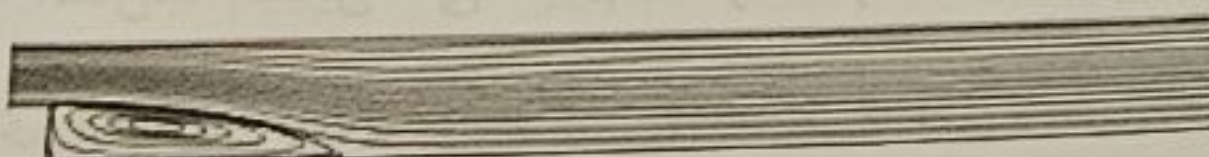
شکل (۱۶-۱۲) توزیع سرعت افقی (بالا) و عمودی (پایین) در رینولدز ۱۰۰ (راست) و ۱۰۰۰ (چپ).

ملاحظه می شود که نتایج بسیار نزدیک به نتایج بدست آمده در روش‌های دیگر است.

### ۲-۳-۱۲ مسئله کاربردی ۴: جریان حول پله عقب گرا

مسئله جریان سیال لزج حول پله عقب گرا در بخش روش تفاضل محدود تشریح شد. برای حل این مسئله، همانگونه که در حین حل مسئله حفره اشاره شد، می توان با ایجاد تغییراتی در نرم افزار ارائه شده، از آن برای حل مسئله پله عقب گرا استفاده نمود. در اینجا، به ارائه نتایج حاصل از نرم افزار فوق الذکر بسته می شود.

در شکل‌های (۱۷-۱۲) و (۱۸-۱۲)، خطوط جریان حاصله برای رینولدزهای ۱۰۰ و ۱۰۰۰ ارائه شده است که تطابق خوبی با نتایج روش‌های دیگر دارد.



شکل (۱۷-۱۲) خطوط جریان در عدد رینولدز ۱۰۰.



شکل (۱۸-۱۲) خطوط جریان در عدد رینولدز ۱۰۰۰.

## ۴-۱۲ حل معادلات ناویر استوکس گذران به روش حجم محدود

در این بخش، به منظور حل عددی معادلات ناویر-استوکس برای جریان گذراي سیال تراکم ناپذیر، از روش گسته‌سازی حجم محدود استفاده می‌شود. روش‌های گسته-سازی، همانطور که در بخش‌های پیش مورد بررسی قرار گرفتند، جهت گسته‌سازی معادلات دیفرانسیلی ساده بکار گرفته شده‌اند و می‌توان از آنها بر روی معادلات پیوسته ناویر-استوکس نیز استفاده نمود.

در شرایط دو بعدی، دامنه محاسباتی به یک ناحیه مستطیلی شکل محدود خواهد گردید:

$$\Omega := [0, a] \times [0, b] \subset \mathbb{R}^2$$

که بر روی این دامنه مستطیلی شبکه‌بندی مورد نظر جهت گسته‌سازی معادلات شکل خواهد گرفت. این شبکه به  $i_{\max}$  سلول در جهت  $x$  و  $j_{\max}$  سلول در جهت  $y$  تقسیم‌بندی خواهد شد. در نتیجه فواصل سلولی بصورت زیر تعریف می‌شوند:

$$\delta x := \frac{1}{i_{\max}} \quad \text{و} \quad \delta y := \frac{b}{j_{\max}}$$

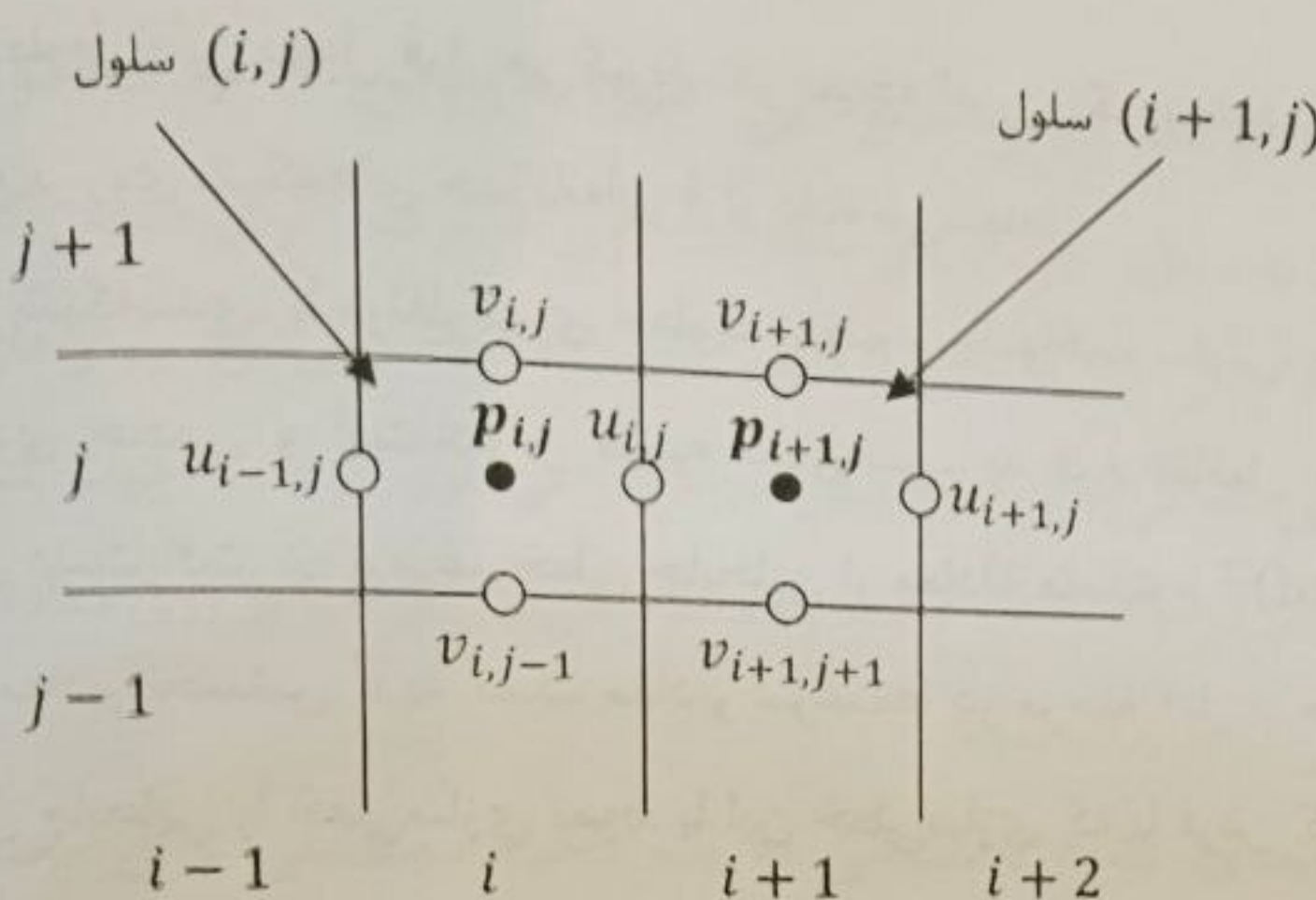
همانطور که در فصل ۷ معرفی گردید، در رویکرد حجم محدود از معادلات حاکم بر روی المان‌های حجم کنترل، انتگرال‌گیری نموده و با استفاده از قضیه دیورزانس، در حالت سه‌بعدی انتگرال‌های حجمی را به انتگرال‌های سطحی (سطح جانبی المان) و در حالت دو بعدی انتگرال‌های سطحی را به انتگرال‌های خطی (خطوط شبکه دو بعدی و تشکیل دهنده المان‌ها تبدیل می‌نماییم. عموماً در گسته‌سازی معادلات ناویر-استوکس بر روی شبکه‌بندی‌های یکنواخت و منظم از رویکرد شبکه‌های جابجا شده<sup>۷</sup> استفاده می‌گردد. در این رویکرد متغیرهای مجھول مختلف بر روی نقاط مشترکی از شبکه قرار نمی‌گیرند. در این شبکه‌بندی، کمیت فشار  $p$  بر روی مراکز سلولی قرار داده شده، سرعت افقی  $u$  بر روی نقاط میانی خطوط قائم سلول و سرعت عمودی  $v$  بر روی

نقاط میانی خطوط افقی سلول قرار می‌گیرند. در نتیجه این رویکرد، مقادیر گستته  $u$ ،  $u$  و  $\vec{u}$  در واقع بر روی شبکه‌های جداگانه‌ای قرار داده می‌شوند.

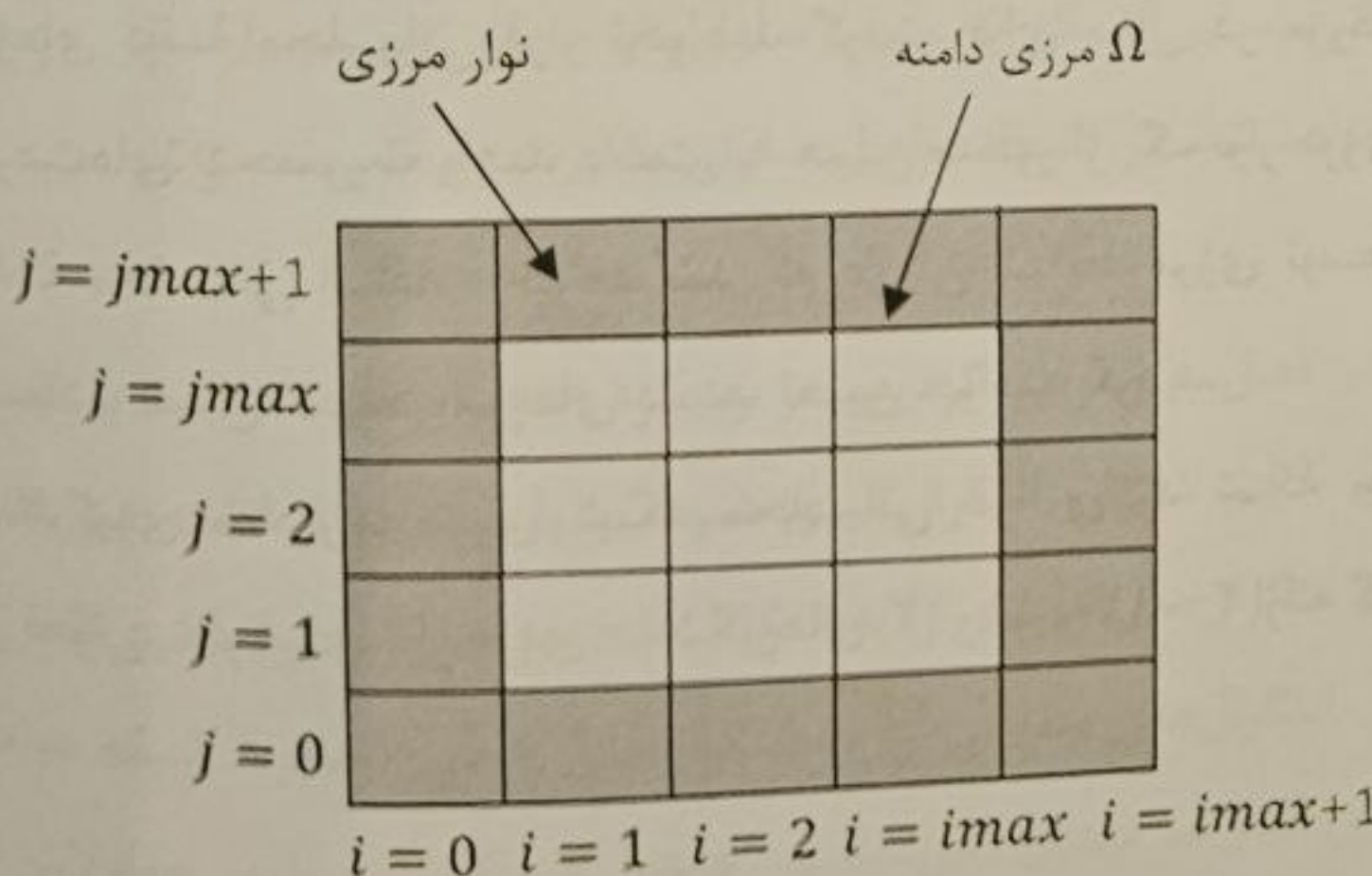
در این نوع از شبکه‌بندی، با درنظرگیری خطوط منظم و یکنواخت سلولی، می‌توان پس از انتگرال‌گیری حجمی و استفاده از قضیه دیورژانس، به فرم تفاضل محدودی از گسته‌سازی دست یافت. در ترم غیرخطی جابجایی از معادله مومنتوم  $\vec{u} \cdot grad \cdot \vec{u}$ ، با درنظرگیری مقادیر نخستین  $\vec{u}$  به کمک مقادیر سرعت‌ها در مرحله قبل از حل، می‌توان ترم غیرخطی جابجایی را خطی‌سازی نمود. با این خطی‌سازی که با فرض کوچک بودن بازه زمانی عملی خواهد بود، می‌توان روند گسته‌سازی را ساده‌سازی نموده و از میانیابی‌های تفاضلی مرتبه اول یا دوم استفاده نمود.

با درنظرگیری رویکرد شبکه جابجاشده، تمامی نقاط مرزی شبکه به علت جابجایی در داخل مرزهای دامنه محاسباتی قرار نخواهند گرفت. برای مثال در مرزهای عمودی مقادیر سرعت‌های  $u$  حضور نخواهند داشت. به همین منظور از یک نوار مرزی اضافی در اطراف دامنه محاسباتی استفاده خواهد شد که در آن شرایط مرزی توسط میانگین-گیری از مقادیر تعیین شده در مرزهای دامنه، تعیین خواهند گردید.

نحوه درنظرگیری مقادیر بر روی شبکه محاسباتی در رویکرد شبکه جابجاشده و همچنین نحوه درنظرگیری نوار مرزی در شکل‌های ۱۹-۱۲ و ۲۰-۱۲ ارائه گردیده‌اند.



شکل (۱۹-۱۲) شبکه‌بندی جابجاشده



شکل (۲۰-۱۲): دامنه محاسباتی با درنظرگیری سلول‌های مرزی

نکته قابل توجه در استفاده از رویکرد شبکه جابجاشده این است که با درنظرگیری این چیدمان برای مجھولات شبکه، می‌توان از نوسانات احتمالی میدان فشار با عبارت دیگر اثر شطرنجی فشار در دامنه محاسباتی چلوگیری نمود.

<sup>۸</sup> یک روش جایگزین در مقابل روش چیدمان جابجاشده، روش چیدمان هم‌مکان پیشنهاد می‌گردد که همانطور که از اسم آن برمی‌آید، تمامی مقادیر  $u$ ,  $v$  و  $p$  در مراکز سلول‌ها درنظر گرفته شده و در این شرایط، یک گستته‌سازی حجم محدود کامل با بکارگیری روش‌های میانیابی ویژه‌ای به منظور محاسبه شار عبوری از سطوح جانبی حجم کنترل، بکارگرفته خواهد شد.

با توجه به آنچه مطرح گردید، به منظور جلوگیری از بروز نوسانات غیرفیزیکی فشار در داخل دامنه محاسباتی، در این مسئله از رویکرد چیدمان جابجاشده استفاده گردیده و نحوه گستته‌سازی بر روی این نوع از شبکه با استفاده از رویکرد حجم محدود مبتنی بر تفاضلات محدود، بصورتی که در ادامه ارائه می‌گردد، معرفی خواهد شد.

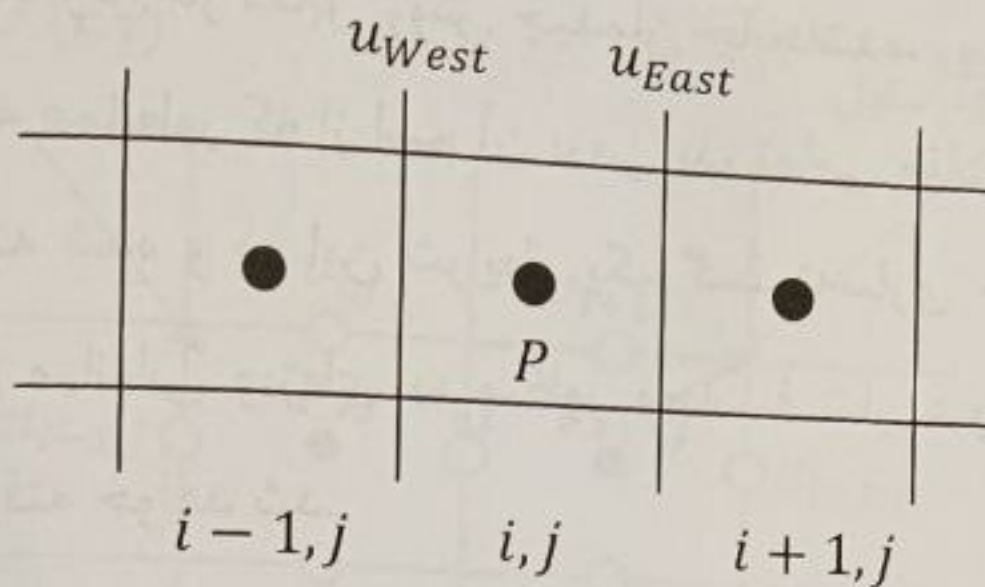
معادله پیوستگی با جایگذاری مشتقهای مکانی  $\frac{\partial u}{\partial x}$  و  $\frac{\partial v}{\partial y}$  به کمک تفاضلات مرتبه اول و بر روی مراکز سلول‌های محاسباتی گستته‌سازی خواهد گردید. لازم به ذکر است که همانطور که در ادامه نشان داده می‌شود، با انتگرال‌گیری روی سطح از عبارت مشتق، استفاده از قضیه دیورزانس، بکارگیری رویکرد چیدمان جابجاشده، میانیابی مرتبه اول بالادستی و نهایتاً تقسیم نمودن تمامی ترمها بر حجم سلول‌ها (یا بر سطح سلول‌ها در حالت دوم)، گستته‌سازی حجم محدود به فرم تفاضل محدود، در خواهد آمد.

$$\int_{C.V.} \frac{\partial u}{\partial x} dV \xrightarrow{2D} \int_{C.F.} \frac{\partial u}{\partial x} dA =$$

$$\oint_{cell\ edges} \frac{u_{face}}{dx} dx dy = \oint_{cell\ edges} u_{edge} dy = (u_{East} - u_{West}) dy$$

بکارگیری میانیابی بالادستی جهت تقریب نمودن مقادیر روی مرزهای شرقی و غربی، با فرض جریان سیال از سمت غرب به شرق نتیجه می‌دهد:

$$u_{East} = u_{i,j} \quad \text{و} \quad u_{West} = u_{i-1,j}$$



شکل (۲۱-۱۲): نحوه قرارگیری سرعتهای افقی و فشار در شبکه محاسباتی

با توجه به این موضوع، می‌توان نشان داد که تقریب حجم محدود عبارت مشتق مرتبه اول در چارچوب چیدمان جابجاشده، با بکارگیری میانیابی مرتبه اول بالادستی، به فرم تقریب تفاضل محدود با تقریب تفاضلی مرتبه اول پسرو درخواهد آمد.

$$\int_{C.F.} \frac{\partial u}{\partial x} dA = (u_{i,j} - u_{i-1,j}) dy \xrightarrow{\text{ تقسیم بر حجم سلول}} = \frac{u_{i,j} - u_{i-1,j}}{dx}$$

مشابه همین نتیجه، برای مشتق مرتبه اول در جهت y (سلول‌های جابجاشده در راستای قائم) حاصل خواهد گردید:

$$\left. \frac{\partial v}{\partial y} \right|_{i,j} := \frac{v_{i,j} - v_{i,j-1}}{\delta y}$$

مشتقهای مرتبه دوم نیز بصورت کاملاً مشابه محاسبه گردیده و گسترش‌سازی ترم انتشار<sup>۹</sup> را نتیجه خواهند داد. نهایتاً جهت گسترش‌سازی ترم‌های جابجایی، انتشار و گرادیان فشار در معادلات مومنتوم در جهات x و y، بصورت زیر خواهیم داشت:

- معادله مومنتوم در جهت x

$$\begin{aligned} \left[ \frac{\partial(u^2)}{\partial x} \right]_{i,j} &:= \\ \frac{1}{\delta x} \left( \left( \frac{u_{i,j} + u_{i+1,j}}{2} \right)^2 - \left( \frac{u_{i-1,j} + u_{i,j}}{2} \right)^2 \right) &+ \gamma \frac{1}{\delta x} \left( \frac{|u_{i,j} + u_{i+1,j}|}{2} \frac{(u_{i,j} - u_{i+1,j})}{2} - \right. \\ &\quad \left. \frac{|u_{i-1,j} + u_{i,j}|}{2} \frac{(u_{i-1,j} - u_{i,j})}{2} \right) \end{aligned}$$

$$\begin{aligned} \left[ \frac{\partial(uv)}{\partial y} \right]_{i,j} &:= \frac{1}{\delta y} \left( \frac{(v_{i,j}+v_{i+1,j})}{2} \frac{(u_{i,j}+u_{i,j+1})}{2} - \frac{(v_{i,j-1}+v_{i+1,j-1})}{2} \frac{(u_{i,j-1}+u_{i,j})}{2} \right) + \\ &\quad \gamma \frac{1}{\delta y} \left( \frac{|v_{i,j}+v_{i+1,j}|}{2} \frac{(u_{i,j}-u_{i,j+1})}{2} - \frac{|v_{i,j-1}+v_{i+1,j-1}|}{2} \frac{(u_{i,j-1}-u_{i,j})}{2} \right) \\ \left[ \frac{\partial^2 u}{\partial x^2} \right]_{i,j} &:= \frac{u_{i+1,j}-2u_{i,j}+u_{i-1,j}}{(\delta x)^2} \\ \left[ \frac{\partial^2 u}{\partial y^2} \right]_{i,j} &:= \frac{u_{i,j+1}-2u_{i,j}+u_{i,j-1}}{(\delta y)^2} \\ \left[ \frac{\partial p}{\partial x} \right]_{i,j} &:= \frac{p_{i+1,j}-p_{i,j}}{\delta x} \end{aligned}$$

- معادله مومنتوم در جهت  $y$

$$\begin{aligned} \left[ \frac{\partial(uv)}{\partial x} \right]_{i,j} &:= \frac{1}{\delta x} \left( \frac{(u_{i,j}+u_{i,j+1})}{2} \frac{(v_{i,j}+v_{i+1,j})}{2} - \frac{(u_{i-1,j}+u_{i-1,j+1})}{2} \frac{(v_{i-1,j}+v_{i,j})}{2} \right) + \\ &\quad \gamma \frac{1}{\delta x} \left( \frac{|u_{i,j}+u_{i,j+1}|}{2} \frac{(v_{i,j}-v_{i+1,j})}{2} - \frac{|u_{i-1,j}+u_{i-1,j+1}|}{2} \frac{(v_{i-1,j}-v_{i,j})}{2} \right) \\ \left[ \frac{\partial(v^2)}{\partial x} \right]_{i,j} &:= \\ &\quad \frac{1}{\delta y} \left( \left( \frac{v_{i,j}+v_{i,j+1}}{2} \right)^2 - \left( \frac{v_{i,j-1}+v_{i,j}}{2} \right)^2 \right) + \gamma \frac{1}{\delta y} \left( \frac{|v_{i,j}+v_{i,j+1}|}{2} \frac{(v_{i,j}-v_{i,j+1})}{2} - \right. \\ &\quad \left. \frac{|v_{i,j-1}+v_{i,j}|}{2} \frac{(v_{i,j-1}-v_{i,j})}{2} \right) \\ \left[ \frac{\partial^2 v}{\partial x^2} \right]_{i,j} &:= \frac{v_{i+1,j}-2v_{i,j}+v_{i-1,j}}{(\delta x)^2} \\ \left[ \frac{\partial^2 v}{\partial y^2} \right]_{i,j} &:= \frac{v_{i,j+1}-2v_{i,j}+v_{i,j-1}}{(\delta y)^2} \\ \left[ \frac{\partial p}{\partial y} \right]_{i,j} &:= \frac{p_{i,j+1}-p_{i,j}}{\delta y} \end{aligned}$$

پارامتر  $\gamma$  در روابط بالا مقداری بین ۰ و ۱ را اختیار نموده بطوری که برای  $\gamma = 0$  به گسته‌سازی تفاضل مرکزی و برای  $\gamma = 1$  یک گسته‌سازی کاملاً مرتبه اول با استفاده از مقادیر سلول‌های بالادستی خواهیم داشت. با توجه به مطالعات انجام شده در زمینه گسته‌سازی حجم محدود، مشخص گردیده که مقدار پارامتر  $\gamma$  بایستی رابطه زیر را ارضاء نماید:

$$\gamma \geq \max \left( \left| \frac{u_{i,j}\delta t}{\delta x} \right|, \left| \frac{v_{i,j}\delta t}{\delta y} \right| \right)$$

به منظور گسته‌سازی ترم زمانی معادله ناویر-استوکس، با تقسیم زمان کلی حل [0,  $t_{end}$ ] به بازه‌های زمانی  $\delta t$ ، مقادیر  $u$ ,  $v$  و  $p$  در زمان‌های  $n\delta t$  محاسبه می‌گردند. برای گسته‌سازی ترم زمانی به روش حجم محدود، مشابه آنچه در بخش‌های قبلی مطرح گردید، از انتگرال‌گیری عبارت دیفرانسیلی بر روی حجم کنترل استفاده می‌نماییم. با توجه به اینکه مقادیر سرعت‌ها در این ترم، تنها وابسته به زمان می‌باشند، در نتیجه از انتگرال خارج شده و با استفاده از روش اویلر و با بکارگیری مقادیر تفاضلی مرتبه اول، به عبارت جبری گسته‌سازی شده تبدیل می‌گردد.

$$\int_{C.V.} \frac{\partial u}{\partial t} dV = \frac{du}{dt} V$$

نهایتاً، با تقسیم‌نودن تمامی ترم‌ها بر حجم سلول محاسباتی، خواهیم داشت:

$$\left[ \frac{du}{dt} \right]^{(n+1)} := \frac{u^{(n+1)} - u^{(n)}}{\delta t}, \quad \left[ \frac{dv}{dt} \right]^{(n+1)} := \frac{v^{(n+1)} - v^{(n)}}{\delta t}$$

که کاملاً مشابه رویکرد تفاضل محدود پیشرو زمانی می‌باشد.

نکته قابل توجه در این بخش این است که، چنانچه تمامی ترم‌های باقیمانده در عبارت‌های دیفرانسیلی و به خصوص مشتقات مکانی موجود در معادله ناویر-استوکس، مقادیر زمان فعلی ( $t_n$ ) را اختیار نمایند، ما اصطلاحاً در حال استفاده از رویکرد صریح<sup>۱۰</sup> در حل معادلات می‌باشیم که در آن مقادیر حل در زمان  $t_{n+1}$  مستقیماً به کمک مقادیر زمان  $t_n$  محاسبه می‌گردند. در مقابل رویکرد ضمنی<sup>۱۱</sup> وجود داشته که در آن تمامی مقادیر مشتقات مکانی در زمان بعدی ( $t_{n+1}$ ) محاسبه می‌گردند. استفاده از رویکرد ضمنی با حفظ پایداری حل، سبب ایجاد امکان استفاده از بازه‌های زمانی بزرگتری برای حل مسئله خواهد گردید. اما در صورت بکارگیری هر یک از این روش‌ها، در هر بازه زمانی نیازمند حل یک سیستم خطی و یا حتی غیرخطی معادلات جبری خواهیم بود.

## ۱-۴-۱۲ نحوه اعمال شرایط مرزی

<sup>۱۰</sup> Explicit Approach  
<sup>۱۱</sup> Implicit Approach

پس از بررسی نحوه گسته‌سازی معادله ناویر-استوکس برای سلول‌های درون دامنه محاسباتی، بایستی به نحوه اعمال شرایط مرزی در نواحی اطراف دامنه محاسباتی پرداخت. در حالت کلی، نیازمند مقادیر زیر بر روی مرزهای دامنه محاسباتی خواهیم

بود:

$$u_{0,j}, u_{i_{\max},j} \quad j = 1, \dots, j_{\max}$$

$$v_{i,0}, v_{i,j_{\max}} \quad i = 1, \dots, i_{\max}$$

همچنین جهت اعمال شرایط مرزی، نیازمند محاسبه مقادیر زیر در خارج از دامنه

محاسباتی خواهیم بود:

$$u_{i,0}, u_{i,j_{\max}+1} \quad i = 1, \dots, i_{\max}$$

$$v_{0,j}, v_{i_{\max}+1,j} \quad j = 1, \dots, j_{\max}$$

این مقادیر سرعت‌ها از گسته‌سازی شرایط مرزی در مسئله پیوسته مورد بررسی بدست خواهند آمد. در ادامه به بررسی چند شرط مرزی متفاوت و پرکاربرد در حل مسائل دینامیک سیالات محاسباتی پرداخته و نحوه اعمال آنها در معادلات گسته‌سازی شده تشریح می‌شود.

### الف) شرط مرزی دیواره بدون لغزش<sup>۱۲</sup>

سرعت‌های پیوسته بایستی به منظور ارضاء شرط عدم لغزش در مرزها صفر شوند. در نتیجه برای مقادیر سرعت‌هایی که کاملاً بر روی مرزها قرار می‌گیرند، خواهیم داشت:

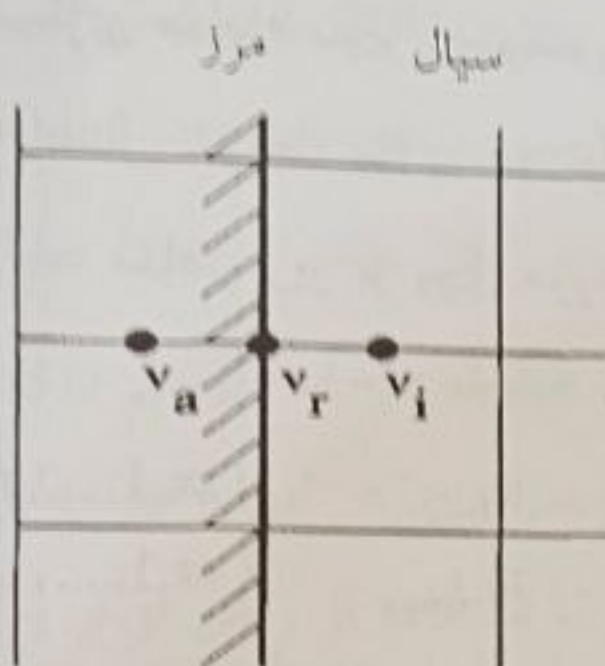
$$u_{0,j} = 0, \quad u_{i_{\max},j} = 0 \quad j = 1, \dots, j_{\max}$$

$$v_{i,0} = 0, \quad v_{i,j_{\max}} = 0 \quad i = 1, \dots, i_{\max}$$

با توجه به اینکه در مرزهای قائم، مقادیر سرعت‌های  $v$  و در مرزهای افقی، مقادیر سرعت‌های  $u$  حضور نخواهند داشت، مقدار مرزی صفر برای این متغیرها با میانگین-گیری از مقادیر دو طرف مرز، اعمال خواهد گردید:

$$v_r := \frac{v_a + v_i}{2} = 0 \Rightarrow v_a = -v_i$$

<sup>12</sup> No-Slip Boundary Condition



شکل (۲۲-۱۲): محل گرها در سیال و مرز

در نتیجه، بر روی چهار مرز براساس شرایط مرزی، خواهیم داشت:

$$u_{i,0} = -u_{i,1}, \quad u_{i,j_{\max}+1} = -u_{i,j_{\max}} \quad i = 1, \dots, i_{\max}$$

$$v_{0,j} = -v_{1,j}, \quad v_{i_{\max}+1,j} = -v_{i_{\max},j} \quad j = 1, \dots, j_{\max}$$

البته، بایستی به این نکته توجه داشت که در مرزهای دیواره در حال حرکت، مقادیر سرعت غیر صفر و معادل سرعت حرکت دیواره در نظر گرفته خواهد شد. این شرایط برای مثال در مسئله جریان داخل حفره<sup>۱۳</sup> که در ادامه به حل و بررسی آن پرداخته می‌شود، بکار گرفته شده است.

### ب) شرط مرزی دیواره بالغش آزاد<sup>۱۴</sup>

در مرز با دیواره لغزنده، مؤلفه عمود بر سطح مرزی سرعت و همچنین مؤلفه مماس بر سطح مرزی گرادیان سرعت بایستی برابر صفر درنظر گرفته شوند. در این شبکه مربعی حاضر که در آن از رویکرد چیدمان جابجاشده استفاده گردیده است، مقادیر سرعت‌های عمود به مرز مستقیماً بر روی مرز قرار گرفته و در نتیجه مشابه آنچه برای شرط مرزی بدون لغش در نظر گرفته بودیم، خواهیم داشت:

$$u_{0,j} = 0, \quad u_{i_{\max},j} = 0 \quad j = 1, \dots, j_{\max}$$

$$v_{i,0} = 0, \quad v_{i,j_{\max}} = 0 \quad i = 1, \dots, i_{\max}$$

<sup>13</sup> Driven Cavity Problem

<sup>14</sup> Free-Slip Boundary Condition

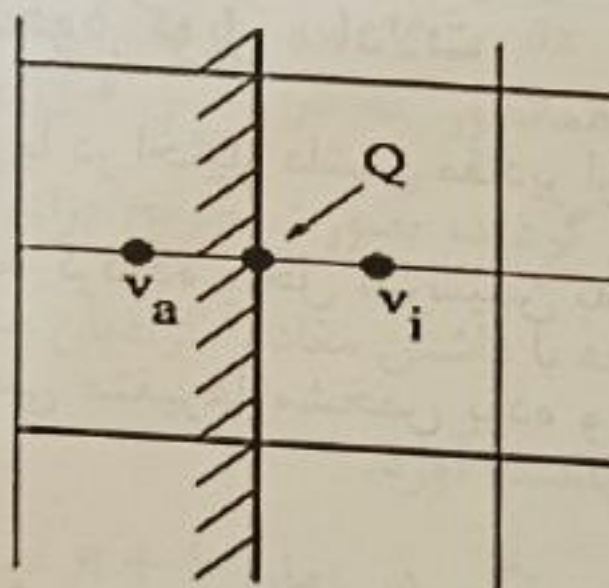
همچنین گرادیان عمود بر سطح سرعت مماس بر دیواره در نقطه مرزی  $Q$ ، به کمک رابطه  $\frac{v_i - v_a}{\delta x}$  گسته‌سازی گردیده و با اعمال در رابطه  $0 = \frac{\partial v}{\partial n}$ ، عبارت زیر بدست می‌آید:

$$v_a = v_i$$

به همین ترتیب، شرایط مرزی دیگر نیز بصورت زیر بدست می‌آید:

$$\begin{aligned} u_{i,0} &= u_{i,1}, & u_{i,j_{\max}+1} &= u_{i,j_{\max}} & i &= 1, \dots, i_{\max} \\ v_{0,j} &= v_{1,j}, & v_{i_{\max}+1,j} &= v_{i_{\max},j} & j &= 1, \dots, j_{\max} \end{aligned}$$

مرز میل



شکل (۱۲-۲۳) شرط مرزی لغش آزاد در مرز دامنه محاسباتی

### ج) شرط مرزی جریان خروجی

در مرز خروجی جریان، گرادیان‌های نرمال هر دو مؤلفه سرعت بر روی مرز برابر صفر قرار داده می‌شوند. این شرایط بدین معنی است که سرعت‌های کلی در جهت عمود بر مرز خروجی تغییر نخواهند کرد. در چارچوب معادلات گسته‌سازی شده، این شرایط با مساوی قرار دادن مقادیر سرعت در مرز با مقادیر سرعت در سلول‌های همسایه در درون دامنه محاسباتی، اعمال خواهد گردید.

$$\begin{aligned} u_{0,j} &= u_{1,j}, & u_{i_{\max},j} &= u_{i_{\max}-1,j} \\ v_{0,j} &= v_{1,j}, & v_{i_{\max}+1,j} &= v_{i_{\max},j} & j &= 1, \dots, j_{\max} \\ u_{i,0} &= u_{i,1}, & u_{i,j_{\max}+1} &= u_{i,j_{\max}} \\ v_{i,0} &= v_{i,1}, & v_{i,j_{\max}} &= v_{i,j_{\max}-1} & i &= 1, \dots, i_{\max} \end{aligned}$$

### د) شرط مرزی ورودی جریان

در مرزی که جریان سیال از آن به داخل دامنه محاسباتی راه می‌یابد، سرعت‌های بصورت صریح اعمال می‌گردند. در نتیجه مقادیر سرعت عمود بر مرز (برای مثال مقدار سرعت  $u$  بر روی مرز قائم در سمت چپ)، با ثابت نمودن مستقیم مقادیر سرعت بر روی خط مرزی تعیین می‌گردند. برای مقادیر سرعت مماس بر مرز (برای مثال مقدار سرعت  $v$  بر روی مرز قائم در سمت چپ)، از میانگین‌گیری سرعت‌ها در طرفین خط مرزی استفاده خواهد شد.

#### ۲-۴-۲ الگوریتم حل و نحوه کوپل معادلات

با شروع حل از زمان  $t = 0$  و با در اختیار داشتن مقادیر اولیه سرعت‌های  $u$  و  $v$ ، در هر بازه زمانی، به میزان  $\delta t$  افزوده گردیده و حل تا رسیدن به زمان نهایی  $t_{end}$  ادامه می‌یابد. در زمان  $n$ ، مقادیر تمامی متغیرها مشخص بوده و بوسیله آنها مقادیر در زمان  $t_{n+1}$  محاسبه می‌گردند.

به منظور بررسی نحوه حل تؤام میدان سرعت و فشار، ابتدا معادلات مومنتوم در جهت  $x$  و  $y$  بین زمان  $n$  و  $n + 1$  گسترش‌سازی می‌شود.

$$\begin{cases} u^{(n+1)} = u^{(n)} + \delta t \left[ \frac{1}{Re} \left( \frac{\partial^2 u}{\partial x^2} + \frac{\partial^2 u}{\partial y^2} \right) - \frac{\partial(u^2)}{\partial x} - \frac{\partial(uv)}{\partial y} + g_x - \frac{\partial p}{\partial x} \right] \\ v^{(n+1)} = v^{(n)} + \delta t \left[ \frac{1}{Re} \left( \frac{\partial^2 v}{\partial x^2} + \frac{\partial^2 v}{\partial y^2} \right) - \frac{\partial(uv)}{\partial x} - \frac{\partial(v^2)}{\partial y} + g_y - \frac{\partial p}{\partial y} \right] \end{cases}$$

در این شرایط، ابتدا با حذف عبارت گرادیان فشار از هر دو معادله مومنتوم، مقادیر  $F$  و  $G$  بصورت زیر معرفی می‌شوند.

$$\begin{cases} F := u^{(n)} + \delta t \left[ \frac{1}{Re} \left( \frac{\partial^2 u}{\partial x^2} + \frac{\partial^2 u}{\partial y^2} \right) - \frac{\partial(u^2)}{\partial x} - \frac{\partial(uv)}{\partial y} + g_x \right] \\ G := v^{(n)} + \delta t \left[ \frac{1}{Re} \left( \frac{\partial^2 v}{\partial x^2} + \frac{\partial^2 v}{\partial y^2} \right) - \frac{\partial(uv)}{\partial x} - \frac{\partial(v^2)}{\partial y} + g_y \right] \end{cases}$$

و در نتیجه خواهیم داشت:

$$\begin{aligned} u^{(n+1)} &= F - \delta t \frac{\partial p}{\partial x} \\ v^{(n+1)} &= G - \delta t \frac{\partial p}{\partial x} \end{aligned}$$

به منظور تکمیل فرآیند گسته‌سازی معادله مومنتوم در زمان، بایستی به هر یک از ترم‌های سمت راست معادله بالا، زمانی را اطلاق نمود. در نتیجه با توجه به رابطه معرفی شده برای  $F$  و  $G$ ، فرض می‌شود که این دو عبارت در زمان  $n$  محاسبه گردیده و مقادیر گرادیان فشار نیز هر دو در زمان  $1 + n$  در نتیجه می‌توان به عبارت گسته‌سازی شده زیر برای معادله مومنتوم دست یافت:

$$u^{(n+1)} = F^{(n)} - \delta t \frac{\partial p^{(n+1)}}{\partial x}$$

$$v^{(n+1)} = G^{(n)} - \delta t \frac{\partial p^{(n+1)}}{\partial y}$$

این رویکرد بکار گرفته شده، همانطور که در بخش قبل و در گسته‌سازی مکانی و زمانی ترم‌های معادله معرفی گردید، بصورت صریح برای سرعت‌ها و بصورت ضمنی برای فشار خواهد بود. در نتیجه با داشتن مقادیر گرادیان فشار در زمان  $1 + n$ ، می‌توان مقادیر سرعت را در این زمان بدست آورد.

برای این منظور، از رابطه پیوستگی در زمان  $1 + n$  استفاده می‌شود. با جایگذاری عبارت اخیر در معادله پیوستگی خواهیم داشت:

$$0 = \frac{\partial u^{(n+1)}}{\partial x} + \frac{\partial v^{(n+1)}}{\partial y} = \frac{\partial F^{(n)}}{\partial x} - \delta t \frac{\partial^2 p^{(n+1)}}{\partial x^2} + \frac{\partial G^{(n)}}{\partial y} - \delta t \frac{\partial^2 p^{(n+1)}}{\partial y^2}$$

عبارت بالا پس از مرتب‌سازی، معادله پواسون فشار را برای اسکالر  $p^{(n+1)}$  در زمان  $t_{n+1}$  بصورت زیر بدست خواهد داد:

$$\frac{\partial^2 p^{(n+1)}}{\partial x^2} + \frac{\partial^2 p^{(n+1)}}{\partial y^2} = \frac{1}{\delta t} \left( \frac{\partial F^{(n)}}{\partial x} + \frac{\partial G^{(n)}}{\partial y} \right)$$

استفاده از این دو معادله در کنار یکدیگر سبب تضمین میدان سرعت بدون دیورزانس<sup>۱۵</sup> خواهد گردید. الگوریتم کلی حل و پیشبرد زمانی میدان حل توأم سرعت و فشار بصورت زیر جمع‌بندی می‌گردد:

- گام اول: محاسبه  $F^{(n)}$  و  $G^{(n)}$  با استفاده از مقادیر  $u^{(n)}$  و  $v^{(n)}$

- گام دوم: حل معادله پواسون برای محاسبه فشار  $p^{(n+1)}$

- گام سوم: محاسبه میدان سرعت جدید  
جدید فشار  $p^{(n+1)}$  محاسبه شده در گام دوم. حل معادله بواسون در گام دوم، نیازمند  
محاسبه مقادیر مرزی گرادیان فشار خواهد بود که بصورت زیر معرفی می‌گردد:

$$\text{grad } p^{(n+1)} \cdot \vec{n} = \frac{\partial p^{(n+1)}}{\partial x} n_1 + \frac{\partial p^{(n+1)}}{\partial y} n_2 = -\frac{1}{\delta t} ((u^{(n+1)} - f^{(n)}) n_1 + (v^{(n+1)} - G^{(n)}) n_2)$$

به روش معرفی شده حاضر برای حل توأم میدان سرعت و فشار، روش پروژکشن  
کورین<sup>۱۶</sup> گفته می‌شود.

## ● برنامه کامپیوتري ۵-۱۲

به منظور حل عددی معادله ناویر-استوکس، با توجه به موارد مطرح شده، یک برنامه  
محاسباتی به کمک زبان برنامه‌نویسی فرتون ۹۰ نوشته شده که در زیر ارائه می‌گردد.  
لازم به ذکر است که به منظور حل دو مسئله متفاوت جریان داخل حفره و جریان بر  
روی پل عقبگرد<sup>۱۷</sup> در این فصل و همچنین حل مسئله جریان سیال حول سیلندر  
دایروی در فصل ۱۳، برنامه کامپیوتري بصورت عمومی نوشته شده است؛ بدین معنی که  
مشخصات دامنه محاسباتی، شرایط حل و تنظیمات مسئله برای هر موضوع بطور  
 جداگانه در یک فایل پارامتری ذخیره گردیده و برای حل مسئله مورد نظر تنها لازم  
است که فایل پارامترهای مسئله به بخش تنظیمات برنامه وارد شود.

در این بخش برنامه کامپیوتري عمومی حلگر ناویر-استوکس ارائه گردیده و در ادامه این  
بخش، تنظیمات، مشخصات دامنه محاسباتی و شرایط مرزی برای دو مسئله متفاوت  
جریان داخل حفره و جریان بر روی پل عقبگرد، ارائه خواهند شد.

بایستی به این نکته توجه داشت که کد ناویر-استوکس حاضر بصورت کاملاً عمومی  
نگارش یافته و برای حل مسائل مختلف تنها بخش اولیه کد بایستی تغییر نماید. در

اینجا کد عمومی ارائه می‌گردد و در بخش‌های پیش رو و در حل مسائل مختلف، بخش اختصاصی هر مسئله ارائه می‌گردد.

کتاب / پرس  
PROGRAM PGRG2DNAVISTO  
IMPLICIT NONE

```

! DEFINITIONS HEADER USED FOR FLAGS
INTEGER , PARAMETER :: C_B = 0
INTEGER , PARAMETER :: B_N = 1
INTEGER , PARAMETER :: B_S = 2
INTEGER , PARAMETER :: B_W = 4
INTEGER , PARAMETER :: B_E = 8
INTEGER , PARAMETER :: B_NW = B_N + B_W
INTEGER , PARAMETER :: B_SW = B_S + B_W
INTEGER , PARAMETER :: B_NE = B_N + B_E
INTEGER , PARAMETER :: B_SE = B_S + B_E

INTEGER , PARAMETER :: C_F = 16
INTEGER , PARAMETER :: C_X = C_F - 1
INTEGER , PARAMETER :: C_A = C_F + B_N + B_S + B_E + B_W
!!!!!!!!!!!!!!!!!!!!!!!!

INTEGER , PARAMETER :: C_O = 256
INTEGER , PARAMETER :: C_W = 512
INTEGER , PARAMETER :: C_S = 1024
INTEGER , PARAMETER :: C_N = 2048
INTEGER , PARAMETER :: C_E = 4096

INTEGER , PARAMETER :: C_WO = C_W + C_O
INTEGER , PARAMETER :: C_NS = C_N + C_S
INTEGER , PARAMETER :: C_SW = C_S + C_W
INTEGER , PARAMETER :: C_NW = C_N + C_W
INTEGER , PARAMETER :: C_NO = C_N + C_O
INTEGER , PARAMETER :: C_SO = C_S + C_O

INTEGER , PARAMETER :: C_SWO = C_S + C_W + C_O
INTEGER , PARAMETER :: C_NS = C_N + C_S + C_W
INTEGER , PARAMETER :: C_NWO = C_N + C_W + C_O
INTEGER , PARAMETER :: C_NSO = C_N + C_S + C_O

INTEGER , PARAMETER :: C_NS = C_N + C_S + C_W + C_O
!!!!!!!!!!!!!!!!

! FOR FLAG INITIALIZATION
INTEGER IHI,ILO,LOW,UP
REAL :: MX,MY,RAD1,X,Y

! FOR COMPUTING F & G
REAL :: DU2DX,DUVDX,DUVDY,DV2DY,LAPLU,LAPLV

! FOR POISSON EQUATION

```

```

REAL :: ADD,BETA_2,BETA_MOD,P0,RDX2,RDY2
INTEGER EPS_E,EPS_N,EPS_S,EPS_W,ITER

! FOR MAIN
REAL :: DELT,DELX,DELY,EPS,GAMMA,GX,GY,OMEGA,RE,RES,T,T_END,UI,VI
INTEGER :: I,J,IBOUND,IFULL,IMAX,ITERMAX,ITERSOR,IWRITE,JMAX
INTEGER :: OUTCOUNT,PRINTLABEL,WE,WN,WS,WW,CYCLES
REAL :: XLENGTH,YLENGTH
REAL , DIMENSION(:,:,:), ALLOCATABLE :::
U,V,P,RHS,UOUT,VOUT,POUT,F,G,PSI,ZETA
INTEGER , DIMENSION(:,:,:), ALLOCATABLE ::: FLAG
CHARACTER ( LEN = 30 ) ::: PROBLEM
CHARACTER ( LEN = 2 ) ::: OUTNUM

!*****
!***** PROBLEM SETUP *****
!*****
!*****
!*****
UI = .
VI = .

!*****
Zeros ! ALLOCATE ARRAYS.

! {
ALLOCATE ( F(0:IMAX+1,0:JMAX+1) )
ALLOCATE ( FLAG(0:IMAX+1,0:JMAX+1) )
ALLOCATE ( G(0:IMAX+1,0:JMAX+1) )
ALLOCATE ( P(0:IMAX+1,0:JMAX+1) )
ALLOCATE ( PSI(0:IMAX,0:JMAX) )
ALLOCATE ( RHS(0:IMAX+1,0:JMAX+1) )
ALLOCATE ( U(0:IMAX+1,0:JMAX+1) )
ALLOCATE ( V(0:IMAX+1,0:JMAX+1) )
ALLOCATE ( UOUT(0:IMAX,0:JMAX) )
ALLOCATE ( VOUT(0:IMAX,0:JMAX) )
ALLOCATE ( POUT(0:IMAX,0:JMAX) )
ALLOCATE ( ZETA(0:IMAX,0:JMAX) )

!*****
! SETTING INITIAL VALUES
! {
U(0:IMAX+1,0:JMAX+1) = UI
V(0:IMAX+1,0:JMAX+1) = VI
P(0:IMAX+1,0:JMAX+1) = 0.0

IF ( PROBLEM == "BACKWARDSTEP" ) THEN
    U(0:IMAX+1,0:JMAX/2) = 0.0
END IF
!*****
! INITIALIZE FLAGS.
! {
INITIALIZE THE BOUNDARY CELLS.

DO I = 0, IMAX+1
    FLAG(I,0) = C_B

```

```

FLAG(I,JMAX+1) = C_B
END DO

DO J = 1, JMAX
  FLAG(0,J) = C_B
  FLAG(IMAX+1,J) = C_B
END DO
!

! INITIALIZE THE FLUID CELLS.

DO I = 1, IMAX
  DO J = 1, JMAX
    FLAG(I,J) = C_F
  END DO
END DO

! SPECIALIZE TO THE PROBLEM

IF ( PROBLEM == "BACKWARDSTEP" ) THEN
  DO I = 1, JMAX
    DO J = 1, JMAX/2
      FLAG(I,J) = C_B
    END DO
  END DO

  WRITE ( *, '(A)' ) ' PROBLEM = ', PROBLEM

ELSE IF ( PROBLEM == "CYLINDER" ) THEN
  MX = 20.0 / 41.0 * JMAX * DELY
  MY = MX
  RAD1 = 5.0 / 41.0 * JMAX * DELY

  DO I = 1, IMAX
    DO J = 1, JMAX
      X = (I-0.5) * DELX
      Y = (J-0.5) * DELY
      IF ((X-MX)*(X-MX)+(Y-MY)*(Y-MY) <= RAD1 * RAD1 ) THEN
        FLAG(I,J) = C_B
      END IF
    END DO
  END DO

  WRITE ( *, '(A)' ) ' PROBLEM = ', PROBLEM

ELSE IF ( PROBLEM == "CAVITY" ) THEN
  WRITE ( *, '(A)' ) ' PROBLEM = ', PROBLEM
END IF

! FLAGS FOR BOUNDARY CELLS

IBOUND = 0

DO I = 1, IMAX
  DO J = 1, JMAX

```

```

IF ( IAND ( FLAG(I,J) , C_F ) /= C_F ) THEN
    IBOUND = IBOUND + 1
END IF

FLAG(I,J) = FLAG(I,J) + ( IAND ( FLAG(I-1,J) , C_F ) * B_W &
+ IAND ( FLAG(I+1,J) , C_F ) * B_E &
+ IAND ( FLAG(I,J-1) , C_F ) * B_S &
+ IAND ( FLAG(I,J+1) , C_F ) * B_N ) /
C_F
END DO
END DO
*****!
! INITIALIZE THE BOUNDARY CONDITIONS.
! DO J = 0 , JMAX+1
! WESTERN AND EASTERN BOUNDARY.
! FREE SLIP, U = 0 , DVDN = 0 .
! IF ( WW == 1 ) THEN
!     U(0,J) = 0.0
!     V(0,J) = V(1,J)
! NO SLIP, U = 0 , V = 0 AT THE BOUNDARY BY AVERAGING.
! ELSE IF ( WW == 2 ) THEN
!     U(0,J) = 0.0
!     V(0,J) = (-1.0) * V(1,J)
! OUTFLOW
! ELSE IF ( WW == 3 ) THEN
!     U(0,J) = U(1,J)
!     V(0,J) = V(1,J)
! PERIODIC, LEFT AND RIGHT CELLS OVERLAP.
! ELSE IF ( WW == 4 ) THEN
!     U(0,J) = U(IMAX-1,J)
!     V(0,J) = V(IMAX-1,J)
!     V(1,J) = V(IMAX,J)
!     P(1,J) = P(IMAX,J)
! END IF
! FREE SLIP

```

```

IF ( WE == 1 ) THEN
    U(IMAX,J) = 0.0
    V(IMAX+1,J) = V(IMAX,J)
!
! NO SLIP
!
ELSE IF ( WE == 2 ) THEN
    U(IMAX,J) = 0.0
    V(IMAX+1,J) = -V(IMAX,J)
!
! OUTFLOW
!
ELSE IF ( WE == 3 ) THEN
    U(IMAX,J) = U(IMAX-1,J)
    V(IMAX+1,J) = V(IMAX,J)
!
! PERIODIC
!
ELSE IF ( WE == 4 ) THEN
    U(IMAX,J) = U(1,J)
    V(IMAX+1,J) = V(2,J)
END IF
END DO
!
! NORTHERN AND SOUTHERN BOUNDARY
!
DO I = 0, IMAX+1
    IF ( WN == 1 ) THEN
        V(I,JMAX) = 0.0
        U(I,JMAX+1) = U(I,JMAX)
    ELSE IF ( WN == 2 ) THEN
        V(I,JMAX) = 0.0
        U(I,JMAX+1) = -U(I,JMAX)
    ELSE IF ( WN == 3 ) THEN
        V(I,JMAX) = V(I,JMAX-1)
        U(I,JMAX+1) = U(I,JMAX)
    ELSE IF ( WN == 4 ) THEN
        V(I,JMAX) = V(I,1)
        U(I,JMAX+1) = U(I,2)
    END IF
!
    IF ( WS == 1 ) THEN
        V(I,0) = 0.0
        U(I,0) = U(I,1)
    ELSE IF ( WS == 2 ) THEN
        V(I,0) = 0.0
        U(I,0) = -U(I,1)
    ELSE IF ( WS == 3 ) THEN
        V(I,0) = V(I,1)
        U(I,0) = U(I,1)
    ELSE IF ( WS == 4 ) THEN

```

```

V(I, 0) = V(I, JMAX-1)
U(I, 0) = U(I, JMAX-1)
U(I, 1) = U(I, JMAX)
P(I, 1) = P(I, JMAX)

END IF

END DO

! SET THE BOUNDARY VALUES AT INNER OBSTACLE CELLS (ONLY NO-SLIP).

! DO I = 1, IMAX
! DO J = 1, JMAX

! MASK C_X = 000F FILTERS THE OBSTACLE CELLS ADJACENT TO FLUID CELLS.

! IF ( IAND ( FLAG(I,J), C_X ) /= 0 ) THEN
!   SELECT CASE ( FLAG(I,J) )

CASE (B_N)
  V(I,J) = 0.0
  U(I,J) = -U(I,J+1)
  U(I-1,J) = -U(I-1,J+1)

CASE (B_E)
  U(I,J) = 0.0
  V(I,J) = -V(I+1,J)
  V(I,J-1) = -V(I+1,J-1)

CASE (B_S)
  V(I,J-1) = 0.0
  U(I,J) = -U(I,J-1)
  U(I-1,J) = -U(I-1,J-1)

CASE (B_W)
  U(I-1,J) = 0.0
  V(I,J) = -V(I-1,J)
  V(I,J-1) = -V(I-1,J-1)

CASE (B_NE)
  V(I,J) = 0.0
  U(I,J) = 0.0
  V(I,J-1) = -V(I+1,J-1)
  U(I-1,J) = -U(I-1,J+1)

CASE (B_SE)
  V(I,J-1) = 0.0
  U(I,J) = 0.0
  V(I,J) = -V(I+1,J)
  U(I-1,J) = -U(I-1,J-1)

CASE (B_SW)
  V(I,J-1) = 0.0
  U(I-1,J) = 0.0
  V(I,J) = -V(I-1,J)
  U(I,J) = -U(I,J-1)

CASE (B_NW)
  V(I,J) = 0.0
  U(I-1,J) = 0.0
  V(I,J-1) = -V(I-1,J-1)
  U(I,J) = -U(I,J+1)

CASE DEFAULT

```

```

        END SELECT
    END IF

    END DO
END DO
*****!
! BACKWARDSTEP
! U = 1.0 AT THE LEFT BOUNDARY
! IF ( PROBLEM == "BACKWARDSTEP" ) THEN
    DO J = JMAX/2+1, JMAX
        U(0,J) = 1.0
    END DO

! CYLINDER
! U = 1.0 AT LEFT BOUNDARY
! ELSE IF ( PROBLEM == "CYLINDER" ) THEN
    V(0,0) = 2.0 * VI - V(1,0)
    DO J = 1, JMAX
        U(0,J) = UI
        V(0,J) = 2.0 * VI - V(1,J)
    END DO

! CAVITY:
! U = 1.0 AT THE UPPER BOUNDARY
! ELSE IF ( PROBLEM == "CAVITY" ) THEN
    DO I = 0, IMAX
        U(I,JMAX+1) = 2.0 - U(I,JMAX)
    END DO

    END IF

    T = 0.0
    CYCLES = 0
*****!

! TIME LOOP.
! DO WHILE ( T < T_END ) = 5
! *****
! DETERMINE FLUID CELLS
! IFULL = IMAX * JMAX - IBOUND
! *****
! COMPUTE TENTATIVE VELOCITY FIELD (F,G).
!
```

```

! COMPUTE FLUX FIELD F
!
! ONLY IF BOTH ADJACENT CELLS ARE FLUID CELLS.
!
DO I = 1, IMAX-1
    DO J = 1, JMAX

        IF ((( IAND ( FLAG(I,J), C_F ) /= 0) .AND. FLAG(I,J)
< C_E ) .AND. &
            (( IAND ( FLAG(I+1,J), C_F ) /= 0) .AND.
FLAG(I+1,J) < C_E ) ) THEN

            DU2DX = ((U(I,J)+U(I+1,J))*(U(I,J)+U(I+1,J)) &
U(I,J)+U(I+1,J))*(U(I,J)-U(I+1,J)) &
- (U(I-
1,J)+U(I,J))*(U(I-1,J)+U(I,J)) &
- GAMMA*ABS ( U(I-
1,J)+U(I,J))*(U(I-1,J)-U(I,J)) ) &
/ (4.0*DELX)

            DUVDY = ((V(I,J)+V(I+1,J))*(U(I,J)+U(I,J+1)) &
V(I,J)+V(I+1,J))*(U(I,J)-U(I,J+1)) &
- (V(I,J-1)+V(I+1,J-
1))*(U(I,J-1)+U(I,J)) &
- GAMMA*ABS ( V(I,J-
1)+V(I+1,J-1))*(U(I,J-1)-U(I,J)) ) &
/ (4.0 * DELY )

            LAPLU = ( U(I+1,J) - 2.0 * U(I,J) + U(I-1,J) ) /
DELX / DELX &
+ ( U(I,J+1) - 2.0 *
U(I,J) + U(I,J-1) ) / DELY / DELY
            F(I,J) = U(I,J) + DELT * ( LAPLU / RE - DU2DX -
DUVDY + GX )

        ELSE
            F(I,J) = U(I,J)
        END IF

    END DO
END DO
!
! COMPUTE FLUX FIELD G
!
! ONLY IF BOTH ADJACENT CELLS ARE FLUID CELLS
!
DO I = 1, IMAX
    DO J = 1, JMAX-1
        IF ((( IAND ( FLAG(I,J),
C_F ) /= 0) .AND. (FLAG(I,J)<C_E )) .AND. &

```

```

(( IAND (
FLAG(I,J+1),C_F) /=0 ) .AND. (FLAG(I,J+1)<C_E)) THEN
DUVDX =
((U(I,J)+U(I,J+1))*(V(I,J)+V(I+1,J)) &
+ GAMMA*ABS (
U(I,J)+U(I,J+1))*(V(I,J)-V(I+1,J)) &
- (U(I-1,J)+U(I-
1,J+1))*(V(I-1,J)+V(I,J)) &
- GAMMA*ABS ( U(I-
1,J)+U(I-1,J+1))*(V(I-1,J)-V(I,J))) &
/ ( 4.0 * DELX )

DV2DY =
((V(I,J)+V(I,J+1))*(V(I,J)+V(I,J+1)) &
+ GAMMA*ABS (
V(I,J)+V(I,J+1))*(V(I,J)-V(I,J+1)) &
- (V(I,J-
1)+V(I,J))*(V(I,J-1)+V(I,J)) &
- GAMMA*ABS ( V(I,J-
1)+V(I,J))*(V(I,J-1)-V(I,J))) &
/ ( 4.0 * DELY )

LAPLV = ( V(I+1,J) - 2.0 * V(I,J) +
V(I-1,J) ) / DELX / DELX &
+ ( V(I,J+1) - 2.0 *
V(I,J) + V(I,J-1) ) / DELY / DELY
G(I,J) = V(I,J) + DELT * ( LAPLV / RE
- DUVDX - DV2DY + GY )

ELSE
G(I,J) = V(I,J)

END IF

END DO
END DO
!
! F AND G AT EXTERNAL BOUNDARY
!
DO J = 1, JMAX
F(0,J) = U(0,J)
F(IMAX,J) = U(IMAX,J)
END DO

DO I = 1, IMAX
G(I,0) = V(I,0)
G(I,JMAX) = V(I,JMAX)
END DO
*****
!
! COMPUTE RIGHT-HAND SIDE FOR PRESSURE EQUATION.
!
DO I = 1, IMAX
DO J = 1, JMAX
!
```

```

! ONLY FOR FLUID AND NON-SURFACE CELLS.

IF ( IAND ( FLAG(I,J), C_F ) /= 0 .AND. FLAG(I,J) <
c_0 ) THEN
    RHS(I,J) = ( ( F(I,J) - F(I-1,J) ) / DELX +
                  + ( G(I,J) - G(I,J-1) ) / DELY
) / DELT
END IF

END DO
END DO
***** ! SOLVE THE PRESSURE EQUATION BY SUCCESSIVE OVER RELAXATION (SOR).

IF ( 0 < IFULL ) THEN
    RDX2 = 1.0 / DELX / DELX
    RDY2 = 1.0 / DELY / DELY
    BETA_2 = - OMEGA / ( 2.0 * ( RDX2 + RDY2 ) )
    P0 = 0.0
    DO I = 1, IMAX
        DO J = 1, JMAX
            IF ( IAND ( FLAG(I,J), C_F ) /= 0 ) THEN
                P0 = P0 + P(I,J) * P(I,J)
            END IF
        END DO
    END DO
    P0 = SQRT ( P0 / IFULL )
    IF ( P0 < 0.0001 ) THEN
        P0 = 1.0
    END IF
    ! SOR ITERATION
    ! DO ITER = 1, ITERMAX
    ! COPY VALUES AT EXTERNAL BOUNDARY...
    ! DO I = 1, IMAX
        ! P(I,0) = P(I,1)
        ! P(I,JMAX+1) = P(I,JMAX)
    ! END DO
    ! DO J = 1, JMAX
        ! P(0,J) = P(1,J)
        ! P(IMAX+1,J) = P(IMAX,J)
    ! END DO
    ! AND AT INTERIOR BOUNDARY CELLS.
    ! AND AT INTERIOR BOUNDARY CELLS.

```

```

DO I = 1, IMAX
    DO J = 1, JMAX

        IF ( B_N <= FLAG(I,J) .AND. FLAG(I,J) <= B_N )
        ) THEN
            IF ( FLAG(I,J) == B_N ) THEN
                P(I,J) = P(I,J+1)
            ELSE IF ( FLAG(I,J) ==
                B_E ) THEN
                    P(I,J) = P(I+1,J)
                ELSE IF ( FLAG(I,J) ==
                B_S ) THEN
                    P(I,J) = P(I,J-1)
                ELSE IF ( FLAG(I,J) ==
                B_W ) THEN
                    P(I,J) = P(I-1,J)
                ELSE IF ( FLAG(I,J) ==
                B_NE ) THEN
                    P(I,J) = 0.5 * (
                        P(I,J+1) + P(I+1,J) )
                ELSE IF ( FLAG(I,J) ==
                B_SE ) THEN
                    P(I,J) = 0.5 * ( P(I,J-
                        1) + P(I+1,J) )
                ELSE IF ( FLAG(I,J) ==
                B_SW ) THEN
                    P(I,J) = 0.5 * ( P(I,J-
                        1) + P(I-1,J) )
                ELSE IF ( FLAG(I,J) ==
                B_NW ) THEN
                    P(I,J) = 0.5 * (
                        P(I,J+1) + P(I-1,J) )
                END IF
            END IF

            END DO
        END DO
    !
    ! RELAXATION METHOD FOR FLUID CELLS.
    !
        DO I = 1, IMAX
            DO J = 1, JMAX
                IF ( IAND ( FLAG(I,J), C_F ) /= 0 .AND.
                    FLAG(I,J) < C_O ) THEN
                    &
                    P(I,J) = ( 1.0 - OMEGA ) * P(I,J)
                    - BETA_2 * (
                        (P(I+1,J) + P(I-1,J)) * RDX2 &
                        (P(I,J+1) + P(I,J-1)) * RDY2 &
                        - RHS(I,J) )
                END IF
            END DO
        END DO
    !

```

```

! COMPUTATION OF THE RESIDUAL.

RES = 0.0

DO I = 1, IMAX
  DO J = 1, JMAX
    ! ONLY FLUID CELLS
    !
    IF ( ( IAND ( FLAG(I,J), C_F ) /= 0 ) .AND.
FLAG(I,J) < C_O ) THEN
      ADD = ( P(I+1,J) - 2.0 * P(I,J) +
P(I-1,J)) * RDX2 +
      + ( P(I,J+1) - 2.0 * P(I,J) +
P(I,J-1)) * RDY2 - RHS(I,J)
      RES = RES + ADD * ADD
    END IF
    !
    END DO
  END DO
  !
  RES = SQRT ( RES / IFULL ) / P0
  IF ( RES < EPS ) THEN
    GO TO 100
  END IF
  ITERSOR=ITERSOR+1
END DO

100  WRITE (6, '(A,G10.4,A,G10.4,A,I4,A,G12.6,A,I4,I4,I4)' ) &
  ' T=', T+DELT, ' DELT=', DELT, ' ITS=', ITERSOR, ' RES=', RES
  !
  ! COMPUTE THE NEW VELOCITY FIELD.

  DO I = 1, IMAX - 1
    DO J = 1, JMAX
      !
      IF ((( IAND ( FLAG(I,J), C_F ) > 0 ) .AND. (FLAG(I,
J) < C_E ) ) .AND. &
        (( IAND ( FLAG(I+1,J), C_F ) > 0 ) .AND.
(FLAG(I+1,J) < C_E ) )) THEN
        U(I,J) = F(I,J) - ( P(I+1,J) - P(I,J) ) * DELT /
DELT
      !
      END IF
    END DO
  END DO

  DO I = 1, IMAX
    DO J = 1, JMAX - 1

```

```

        IF ((( IAND ( FLAG(I,J) , C_F ) > 0 ) .AND. (FLAG(I,
J) < C_E ) ) .AND. & (( IAND ( FLAG(I,J+1),C_F ) > 0 ) .AND.
(FLAG(I,J+1) < C_E ) )) THEN
          V(I,J) = G(I,J) - ( P(I,J+1) - P(I,J) ) * DELT /
DELY
        END IF

      END DO
    END DO
!*****SET THE BOUNDARY CONDITIONS FOR THE NEXT TIME STEP
! SET THE BOUNDARY CONDITIONS FOR THE NEXT TIME STEP
!
DO J = 0, JMAX+1
!
! WESTERN AND EASTERN BOUNDARY.
!
! FREE SLIP, U = 0, DVDN = 0.
!
IF ( WW == 1 ) THEN
  U(0,J) = 0.0
  V(0,J) = V(1,J)
!
! NO SLIP, U = 0, V = 0 AT THE BOUNDARY BY AVERAGING.
!
! ELSE IF ( WW == 2 ) THEN
  U(0,J) = 0.0
  V(0,J) = (-1.0) * V(1,J)
!
! OUTFLOW
!
ELSE IF ( WW == 3 ) THEN
  U(0,J) = U(1,J)
  V(0,J) = V(1,J)
!
! PERIODIC, LEFT AND RIGHT CELLS OVERLAP.
!
ELSE IF ( WW == 4 ) THEN
  U(0,J) = U(IMAX-1,J)
  V(0,J) = V(IMAX-1,J)
  V(1,J) = V(IMAX,J)
  P(1,J) = P(IMAX,J)

END IF
!
! FREE SLIP
!
IF ( WE == 1 ) THEN
  U(IMAX,J) = 0.0
  V(IMAX+1,J) = V(IMAX,J)

```

```

! NO SLIP
{
    ELSE IF ( WE == 2 ) THEN
        U(IMAX,J) = 0.0
        V(IMAX+1,J) = -V(IMAX,J)
}

! OUTFLOW

! ELSE IF ( WE == 3 ) THEN
    U(IMAX,J) = U(IMAX-1,J)
    V(IMAX+1,J) = V(IMAX,J)

! PERIODIC

! ELSE IF ( WE == 4 ) THEN
    U(IMAX,J) = U(1,J)
    V(IMAX+1,J) = V(2,J)
END IF

END DO

! NORTHERN AND SOUTHERN BOUNDARY

! DO I = 0, IMAX+1
    IF ( WN == 1 ) THEN
        V(I,JMAX) = 0.0
        U(I,JMAX+1) = U(I,JMAX)
    ELSE IF ( WN == 2 ) THEN
        V(I,JMAX) = 0.0
        U(I,JMAX+1) = -U(I,JMAX)
    ELSE IF ( WN == 3 ) THEN
        V(I,JMAX) = V(I,JMAX-1)
        U(I,JMAX+1) = U(I,JMAX)
    ELSE IF ( WN == 4 ) THEN
        V(I,JMAX) = V(I,1)
        U(I,JMAX+1) = U(I,2)
    END IF

    IF ( WS == 1 ) THEN
        V(I,0) = 0.0
        U(I,0) = U(I,1)
    ELSE IF ( WS == 2 ) THEN
        V(I,0) = 0.0
        U(I,0) = -U(I,1)
    ELSE IF ( WS == 3 ) THEN
        V(I,0) = V(I,1)
        U(I,0) = U(I,1)
    ELSE IF ( WS == 4 ) THEN
        V(I,0) = V(I,JMAX-1)
        U(I,0) = U(I,JMAX-1)
        U(I,1) = U(I,JMAX)
    END IF
}

```

```

P(I,1) = P(I,JMAX)
END IF

END DO
!
! SET THE BOUNDARY VALUES AT INNER OBSTACLE CELLS (ONLY NO.
SLIP).
!
DO I = 1, IMAX
    DO J = 1, JMAX
!
! MASK C_X = 000F FILTERS THE OBSTACLE CELLS ADJACENT TO FLUID
CELLS.
!
IF ( IAND ( FLAG(I,J), C_X ) /= 0 ) THEN
    SELECT CASE ( FLAG(I,J) )

        CASE (B_N)
            V(I,J) = 0.0
            U(I,J) = -U(I,J+1)
            U(I-1,J) = -U(I-1,J+1)

        CASE (B_E)
            U(I,J) = 0.0
            V(I,J) = -V(I+1,J)
            V(I,J-1) = -V(I+1,J-1)

        CASE (B_S)
            V(I,J-1) = 0.0
            U(I,J) = -U(I,J-1)
            U(I-1,J) = -U(I-1,J-1)

        CASE (B_W)
            U(I-1,J) = 0.0
            V(I,J) = -V(I-1,J)
            V(I,J-1) = -V(I-1,J-1)

        CASE (B_NE)
            V(I,J) = 0.0
            U(I,J) = 0.0
            V(I,J-1) = -V(I+1,J-1)
            U(I-1,J) = -U(I-1,J+1)

        CASE (B_SE)
            V(I,J-1) = 0.0
            U(I,J) = 0.0
            V(I,J) = -V(I+1,J)
            U(I-1,J) = -U(I-1,J-1)

        CASE (B_SW)
            V(I,J-1) = 0.0
            U(I-1,J) = 0.0
            V(I,J) = -V(I-1,J)
            U(I,J) = -U(I,J-1)

        CASE (B_NW)
            V(I,J) = 0.0
            U(I-1,J) = 0.0
            V(I,J-1) = -V(I-1,J-1)
            U(I,J) = -U(I,J+1)

    CASE DEFAULT
        !
    END SELECT

```

```

    END IF
    END DO
  END DO
!*****SETTING SPECIAL BOUNDARY CONDITIONS FOR THE NEXT TIME STEP.
!
! BACKWARDSTEP
! U = 1.0 AT THE LEFT BOUNDARY
!
IF ( PROBLEM == "BACKWARDSTEP" ) THEN
  DO J = JMAX/2+1, JMAX
    U(0,J) = 1.0
  END DO
!
! CYLINDER
! U = 1.0 AT LEFT BOUNDARY
!
ELSE IF ( PROBLEM == "CYLINDER" ) THEN
  V(0,0) = 2.0 * VI - V(1,0)
  DO J = 1, JMAX
    U(0,J) = UI
    V(0,J) = 2.0 * VI - V(1,J)
  END DO
!
! CAVITY:
!
U = 1.0 AT THE UPPER BOUNDARY
!
ELSE IF ( PROBLEM == "CAVITY" ) THEN
  DO I = 0, IMAX
    U(I,JMAX+1) = 2.0 - U(I,JMAX)
  END DO
!
! UNRECOGNIZED PROBLEM.
!
END IF
!*****WRITE(*,*) T
!WRITE(*,*) DELT
!WRITE(*,*) CYCLES
!*****ADVANCE THE TIME
!
T = T + DELT
CYCLES = CYCLES + 1
!
IF (MOD(CYCLES,OUTCOUNT)==0) THEN
  !CALL DIGIT_TO_CH (CYCLES, OUTNUM )
  !OUTNUM=CHAR (CYCLES)
  PRINTLABEL = CYCLES/OUTCOUNT
!
```

```

      WRITE (OUTNUM, '(I2)') PRINTLABEL
      !WRITE(*,*) PRINTLABEL
      !READ(OUTNUM,*) CYCLES
      !
      ! COMPUTATION OF THE VORTICITY (ZETA) AT THE UPPER
      ! OF CELL (I,J) (ONLY IF THE CORNER IS SURROUNDED BY
      ! RIGHT CORNER FLUID CELLS)
      !
      DO I = 1, IMAX-1
          DO J = 1, JMAX-1
              IF (((IAND(FLAG(I, J), C_F) /= 0 ) .AND. FLAG(I, J) < C_E ) .AND. &
                  .AND. FLAG(I+1, J) < C_E ) .AND. &
                  .AND. FLAG(I, J+1) < C_E ) .AND. &
                  ) .AND. FLAG(I+1, J+1) < C_E ))&
                  THEN
                      ZETA(I, J) = ( U(I, J+1) - U(I, J) ) / DELY &
                      - ( V(I+1, J) - V(I, J) ) / DELX
              ELSE
                  ZETA(I, J) = 0.0
              END IF
          END DO
      END DO
      ZETA(0, 0:JMAX)=0.0
      ZETA(0:IMAX, 0)=0.0
      ZETA(IMAX, 0:JMAX)=0.0
      ZETA(0:IMAX, JMAX)=0.0
      ! *****
      !
      ! COMPUTATION OF THE STREAM FUNCTION AT THE UPPER
      ! OF CELL (I,J), BUT ONLY IF BOTH LOWER CELLS ARE
      ! RIGHT CORNER FLUID CELLS.
      !
      DO I = 0, IMAX
          PSI(I, 0) = 0.0
          DO J = 1, JMAX
              IF (((IAND(FLAG(I, J), C_F) /= 0 ) .AND. (FLAG(I, J)<C_E)) .OR. &
                  .AND. (FLAG(I+1, J)<C_E))) THEN
                  PSI(I, J) = PSI(I, J-1) + U(I, J) * DELY
              ELSE
                  PSI(I, J) = PSI(I, J-1)
              END IF
          END DO
      END DO
  
```

```

        END IF
    END DO
END DO
! *****
!
! COMPUTING OUTPUT VELOCITY AND PRESSURE
! DATA AND WRITING THEM OUT IN SEPERATE
! FILES FOR POST-PROCESSING
!
DO J = 1, JMAX
    DO I = 1, IMAX
        IF ( IAND ( FLAG(I,J), C_F ) /= 0
AND. FLAG(I,J) < C_E ) THEN
            UOUT(I,J) = ( U(I,J) + U(I-1,J) )
/ 2.0
        ELSE
            UOUT(I,J) = 0.0
        END IF
    END DO
END DO
UOUT(0,0:JMAX)=0.0
UOUT(0:IMAX,0)=0.0

DO J = 1, JMAX
    DO I = 1, IMAX
        IF ( IAND ( FLAG(I,J), C_F ) /= 0
AND. FLAG(I,J) < C_E ) THEN
            VOUT(I,J) = ( V(I,J) + V(I,J-1) )
/ 2.0
        ELSE
            VOUT(I,J) = 0.0
        END IF
    END DO
END DO
VOUT(0,0:JMAX)=0.0
VOUT(0:IMAX,0)=0.0

DO J = 1, JMAX
    DO I = 1, IMAX
        IF ( IAND ( FLAG(I,J), C_F ) /= 0
AND. FLAG(I,J) < C_E ) THEN
            POUT(I,J) = P(I,J)
        ELSE
            POUT(I,J) = 0.0
        END IF
    END DO
END DO
POUT(0,0:JMAX)=0.0
POUT(0:IMAX,0)=0.0
! *****

!
! OUTPUT U-VELOCITY FOR VISUALIZATION.
!
OPEN ( UNIT=1, FILE =
'U_DATA_'//TRIM(OUTNUM)//'.TXT')

```

```

DO J = 0, JMAX
  DO I = 0, IMAX
    WRITE ( 1, '(1X,I5,1X,I5,1X,F12.6)' )
I, J, UOUT(I,J)
      END DO
    END DO
      CLOSE (1)

! *****
! OUTPUT V-VELOCITY FOR VISUALIZATION.
!
OPEN ( 2, FILE =
'V_DATA_'//TRIM(OUTNUM)//'.TXT')
DO J = 0, JMAX
  DO I = 0, IMAX
    WRITE ( 2, '(1X,I5,1X,I5,1X,F12.6)' )
I, J, VOUT(I,J)
      END DO
    END DO
      CLOSE (2)

! *****
! OUTPUT PRESSURE FIELD FOR VISUALIZATION.
!
OPEN ( 3, FILE =
'PRESSURE_'//TRIM(OUTNUM)//'.TXT')
DO J = 0, JMAX
  DO I = 0, IMAX
    WRITE ( 3, '(1X,I5,1X,I5,1X,F12.6)' )
I, J, POUT(I,J)
      END DO
    END DO
      CLOSE (3)

! *****
! OUTPUT THE STREAM FUNCTION FOR VISUALIZATION.
!
OPEN ( 4, FILE =
'PSI_DATA_'//TRIM(OUTNUM)//'.TXT')
DO J = 0, JMAX
  DO I = 0, IMAX
    WRITE ( 4, '(1X,I5,1X,I5,1X,F12.6)' )
I, J, PSI(I,J)
      END DO
    END DO
      CLOSE (4)

! *****

```

```

!
! OUTPUT THE VORTICITY FOR VISUALIZATION.
OPEN ( 5, FILE =
'ZETA_DATA_' // TRIM(OUTNUM) // '.TXT')

DO J = 0, JMAX
    DO I = 0, IMAX
        WRITE ( 5, '(1X,I5,1X,I5,1X,F12.6)' )
I, J, ZETA(I,J)
    END DO
END DO

CLOSE (5)
!*****!
WRITE(*,*) ' '
WRITE(*,*) 'PROBLEM: ', PROBLEM
WRITE(*,*) 'RESULTS HAVE BEEN PRINTED OUT'
WRITE(*,*) 'FOR TIME ', T, ' (S)'
WRITE(*,*) ' '

ENDIF

END DO
!*****!
!&&&&&&&&&&&&&&&&&!
!*****!
!$$$$$$$$$$$$$$$$$$$$$$$$$!
!*****!

!
! FREE MEMORY.

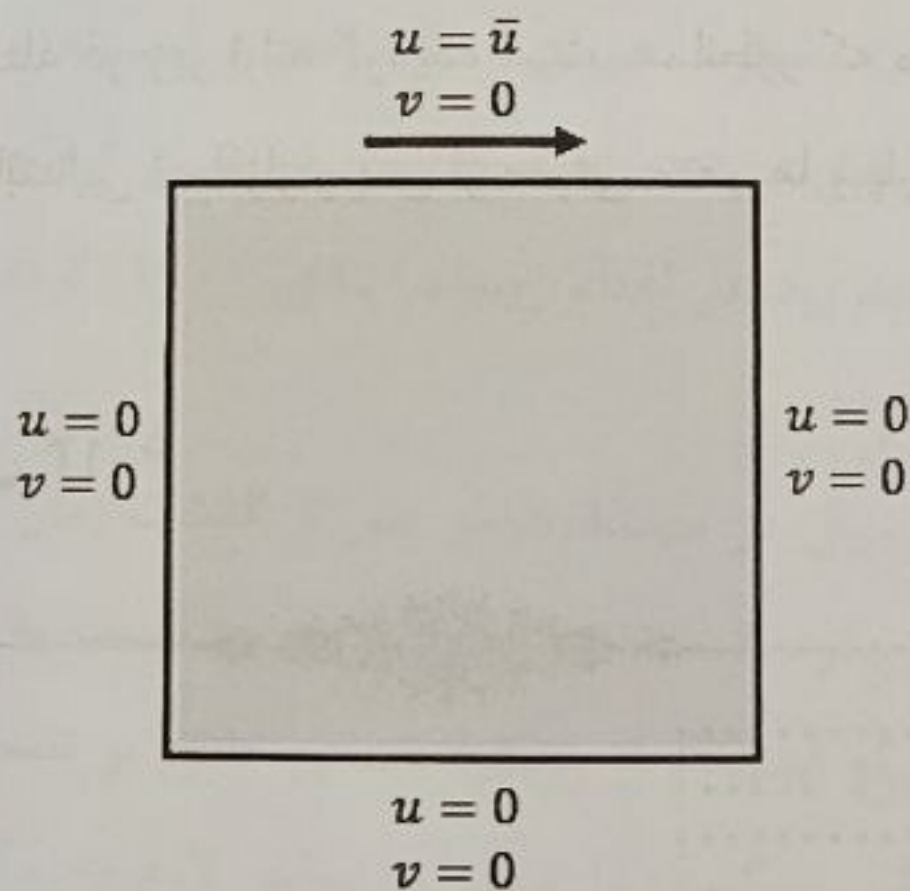
DEALLOCATE ( F )
DEALLOCATE ( FLAG )
DEALLOCATE ( G )
DEALLOCATE ( P )
DEALLOCATE ( PSI )
DEALLOCATE ( RHS )
DEALLOCATE ( U )
DEALLOCATE ( V )
DEALLOCATE ( ZETA )
DEALLOCATE ( UOUT )
DEALLOCATE ( VOUT )
DEALLOCATE ( POUT )

STOP

END

```

نخستین مسئله‌ای که با استفاده از کد عددی معادلات ناویر-استوکس به روش حجم محدود مورد بررسی قرار می‌گیرد، جریان داخل حفره است. همان طور که قبلاً بیان شد، جریان درون حفره یکی از مسائل شناخته شده و معتبر در زمینه دینامیک سیالات محاسباتی بوده و در بسیاری از کارهای تحقیقاتی از آن برای معتبرسازی و صحت-سنگی نتایج بدست آمده از حلگرهای عددی، استفاده می‌شود. مشخصات فیزیکی این مسئله همانطور که در شکل نیز نمایش داده شده است، نشان می‌دهد که جریان در داخل یک حفره مربعی شکل که با یک سیال بطور کامل پر شده است، مورد بررسی قرار خواهد گرفت. دیواره فوقانی این حفره با یک سرعت ثابت و مشخص بطور دائم در حال حرکت بوده و در نتیجه سیال را به حرکت وادار می‌نماید.



شکل (۱۲-۲۴): مؤلفه‌های سرعت در سطوح مختلف

شرط دیواره بدون لغزش بر روی هر چهار مرز اعمال گردیده، با این تفاوت که در مرز بالایی، سرعت  $\bar{u}$  در جهت  $x$  صفر نبوده و برابر با سرعت حرکت دیواره،  $\bar{u}$  خواهد بود تا بتوان حرکت آنرا شبیه‌سازی نمود. در نتیجه در برنامه کامپیوتری شرایط مرزی در مرز بالایی به صورت زیر در نظر گرفته شده‌اند.

$$u_{i,j_{\max}+1} = 2.0 \bar{u} - u_{(i,j_{\max})} \quad i = 1, \dots, i_{\max}$$

همچنین ابعاد مربع  $1 \times 1$  در نظر گرفته شده و در هر جهت به ۱۲۸ قسمت مساوی تقسیم‌بندی گردیده تا به یک شبکه‌بندی منظم و یکنواخت  $128 \times 128$  دست یابیم. در شکل‌هایی که در ادامه ارائه گردیده‌اند، میدان سرعت و خطوط جریان برای مسئله با عدد رینولدز ۱۰۰۰ ( $Re = 1000$ ) هم در حالت غیردائمی و متغیر با زمان و هم در حالت پایا نشان داده می‌شود. در لحظه اول ( $t = 0$ ) سرعت در پوش  $\bar{u}$  بطور آنی اعمال گردیده و سبب ایجاد تحرک در داخل سیال می‌گردد. تشکیل گردابه اصلی و بزرگ راستگرد و متعاقب آن دومین گردابه که چپ‌گرد است، در گوش سمت راست و پایین، به خوبی قابل مشاهده می‌باشد. اما گردابه چپ‌گرد بعدی در گوش سمت چپ پایین به زمان بیشتری جهت تشکیل نیاز خواهد داشت.

کد تنظیمات این مسئله در زیر ارائه گردیده است. همانطور که مشخص می‌باشد، این کد بایستی در بخش ابتدایی نرم‌افزار و پس از معرفی متغیرها و پارامترهای نرم‌افزار قرار داده شود.

## ● برنامه کامپیوتري ۶-۱۲

```
*****!  
***** PROBLEM SETUP *****!  
*****!  
! INITIALIZE.  
!  
PROBLEM='CAVITY'  
  
XLENGTH=1.0  
YLENGTH=1.0  
IMAX=50  
JMAX=50  
  
DELX = XLENGTH / IMAX  
DELY = YLENGTH / JMAX  
  
T_END=5.0  
DELT=0.005  
OUTCOUNT=200  
  
ITERMAX=150
```

EPS=0.001  
OMEGA=1.7  
GAMMA=0.9

RE=100  
GX=0.0  
GY=0.0  
UI=0.0  
VI=0.0

WW=2  
WE=2  
WN=2  
WS=2

ITERSOR = 0  
IFULL = 0  
IBOUND = 0

\*\*\*\*\*!

نخست، میدان سرعت، خطوط جریان و کانتورهای ورتیسیته در اعداد رینولدز متفاوت نشان داده می‌شود. قابل مشاهده است که ابعاد نخستین گردابه چپ‌گرد، کاملاً به عدد رینولدز وابسته خواهد بود. در اعداد رینولدز بالای ۱۰۰۰، گردابه چپ‌گرد دوم در گوشۀ پایینی تشکیل می‌گردد.

از آنجاییکه جریان سیال در مسئله حاضر پس از گذشت زمان به شرایط دائمی خواهد رسید، استفاده از رویکرد گسته‌سازی زمانی صریح نسبت به رویکرد ضمنی از ضعف برخوردار بوده زیرا که استفاده از رویکرد ضمنی علاوه بر تضمین پایداری حل، امکان استفاده از بازۀ زمانی بزرگتری را ایجاد می‌نماید. لازم به ذکر است که در مطالعات [Ghia et al., 1982] که بعنوان مرجع صحّت سنجی مسئله حفره در جوامع علمی پذیرفته شده است، معادلات ناویر-استوکس در شکل دائمی خود و با استفاده از فرمولاسیون گردابه - تابع جریان حل گردیده و در نتیجه تغییرات جریان در طول زمان در مطالعات آنها قابل مشاهده نمی‌باشد.

نکته دیگری که بایستی به آن توجه نمود، این است که بعلت اختلاف بسیار کم میان مقادیر خطوط جریان در محل گردابه‌های چپ‌گرد، کانتورهای خط جریان در این نواحی

بطور مجرزا و با مقادیر دقیق‌تری رسم گردیده و نمایش داده شده‌اند. همچنین برای مشاهده نتایج بدست آمده و پردازش آنها، یک کد نمایشگر در محیط نرم‌افزار MATLAB برنامه‌نویسی شده که در زیر ارائه می‌گردد.

---

```

FUNCTION PGRG2D_POSTPROC(TIMELEVEL)
FPRINTF ( 1, '\N' );
FPRINTF ( 1, 'PGRG2DNAVISTO_CONTOUR:\N' );
FPRINTF ( 1, ' THIS PROGRAM PLOTS CONTOURS FROM THE OUTPUT FILE\N'
);
FPRINTF ( 1, ' GENERATED BY PGRG2DNAVISTO CODE.\N' );

% CAVITY = DRIVEN CAVITY
% STEP = FLOW OVER BACKWARD STEP
% CYLINDER = FLOW AROUND CIRCULAR CYLINDER
%NUMBER OF CONTOUR LEVELS
NO_LEVELS = 20;
PROBLEM = 'CAVITY';
VECTORPLOT = 'N' ; % (Y)ES= PLOT VECTORS (N)O= NO VECTOR-PLOT
LX = 30;
LY = 1.5;
UFILENAME=['U_DATA_' TIMELEVEL '.TXT'];
VFILENAME=['V_DATA_' TIMELEVEL '.TXT'];
PRESSFILENAME=['PRESSURE_' TIMELEVEL '.TXT'];
PSIFILENAME=['PSI_DATA_' TIMELEVEL '.TXT'];
ZETAFILENAME=['ZETA_DATA_' TIMELEVEL '.TXT'];

U = LOAD (UFILENAME);
[ M, N ] = SIZE ( U );
NX = MAX ( U(1:M,1) ) - MIN ( U(1:M,1) ) + 1;
NY = MAX ( U(1:M,2) ) - MIN ( U(1:M,2) ) + 1;
INDEX = 0;
FOR J = 1 : NY
    FOR I = 1: NX
        INDEX = INDEX + 1;
        X(I,J) = U(INDEX,1);
        Y(I,J) = U(INDEX,2);
        UOUT(I,J) = U(INDEX,3);
    END
END

V = LOAD (VFILENAME);
[ M, N ] = SIZE ( V );
NX = MAX ( V(1:M,1) ) - MIN ( V(1:M,1) ) + 1;
NY = MAX ( V(1:M,2) ) - MIN ( V(1:M,2) ) + 1;
INDEX = 0;
FOR J = 1 : NY
    FOR I = 1: NX
        INDEX = INDEX + 1;
        X(I,J) = V(INDEX,1);
        Y(I,J) = V(INDEX,2);
    END
END

```

```

    VOUT(I,J) = V(INDEX,3);
END
END

P = LOAD (PRESSFILENAME);
[ M, N ] = SIZE ( P );
NX = MAX ( P(1:M,1) ) - MIN ( P(1:M,1) ) + 1;
NY = MAX ( P(1:M,2) ) - MIN ( P(1:M,2) ) + 1;
INDEX = 0;
FOR J = 1 : NY
    FOR I = 1: NX
        INDEX = INDEX + 1;
        X(I,J) = P(INDEX,1);
        Y(I,J) = P(INDEX,2);
        POUT(I,J) = P(INDEX,3);
    END
END

PSI = LOAD (PSIFILENAME);
[ M, N ] = SIZE ( U );
NX = MAX ( PSI(1:M,1) ) - MIN ( PSI(1:M,1) ) + 1;
NY = MAX ( PSI(1:M,2) ) - MIN ( PSI(1:M,2) ) + 1;
INDEX = 0;
FOR J = 1 : NY
    FOR I = 1: NX
        INDEX = INDEX + 1;
        X(I,J) = PSI(INDEX,1);
        Y(I,J) = PSI(INDEX,2);
        PSIOUT(I,J) = PSI(INDEX,3);
    END
END

ZETA = LOAD (ZETAFILENAME);
[ M, N ] = SIZE ( U );
NX = MAX ( PSI(1:M,1) ) - MIN ( PSI(1:M,1) ) + 1;
NY = MAX ( PSI(1:M,2) ) - MIN ( PSI(1:M,2) ) + 1;
INDEX = 0;
FOR J = 1 : NY
    FOR I = 1: NX
        INDEX = INDEX + 1;
        X(I,J) = ZETA(INDEX,1);
        Y(I,J) = ZETA(INDEX,2);
        ZETAYOUT(I,J) = ZETA(INDEX,3);
    END
END

%
% FOR J = 1 : NY
%     FOR I = 1: NX
%         XXX = (I-1/NX)*LX;
%         YYY = (J-1/NY)*LY;
%         X(I,J) = XXX;
%         Y(I,J) = YYY;
%     END
% END
%
%%%%%%%
XC = 10;
YC = 10;

```

```

RC = 3;
TETA = 0:0.01:2*PI;
CIRCLEX = RC*COS(TETA) + XC;
CIRCLEY = RC*SIN(TETA) + YC;
%%%%%%%%%%%%%
XREC1 = 0;
XREC2 = 25;
YREC1 = 0;
YREC2 = 12;
RECTANGX = [XREC1 XREC2 XREC2 XREC1 XREC1];
RECTANGY = [YREC1 YREC1 YREC2 YREC2 YREC1];
%%%%%%%%%%%%%

```

```

FIGURE(1)
[ C1, H1 ] = CONTOURF ( X, Y, UOUT, NO_LEVELS, 'LINESTYLE', 'NONE' );
COLORMAP ( JET );
XLABEL ( 'X', 'FONTNAME', 'HELVETICA', 'FONTWEIGHT',
'BOLD', 'FONTSIZE', 10 );
YLABEL ( 'Y', 'FONTNAME', 'HELVETICA', 'FONTWEIGHT',
'BOLD', 'FONTSIZE', 10, 'ROTATION', 0 );
TITLE ( 'U-VELOCITY', 'FONTNAME', 'HELVETICA', 'FONTWEIGHT', 'BOLD',
'FONTSIZE', 16 );
HOLD ON
SWITCH ( PROBLEM )
CASE 'CYLINDER'
  FILL(CIRCLEX,CIRCLEY,'W')
CASE 'STEP'
  FILL(RECTANGX,RECTANGY,'W')
END
DASPECT([1 1 1])

```

```

FIGURE(2)
[ C2, H2 ] = CONTOURF ( X, Y, VOUT, NO_LEVELS, 'LINESTYLE', 'NONE' );
COLORMAP ( JET );
XLABEL ( 'X', 'FONTNAME', 'HELVETICA', 'FONTWEIGHT',
'BOLD', 'FONTSIZE', 10 );
YLABEL ( 'Y', 'FONTNAME', 'HELVETICA', 'FONTWEIGHT',
'BOLD', 'FONTSIZE', 10, 'ROTATION', 0 );
TITLE ( 'V-VELOCITY', 'FONTNAME', 'HELVETICA', 'FONTWEIGHT', 'BOLD',
'FONTSIZE', 16 );
HOLD ON
SWITCH ( PROBLEM )
CASE 'CYLINDER'
  FILL(CIRCLEX,CIRCLEY,'W')
CASE 'STEP'
  FILL(RECTANGX,RECTANGY,'W')
END
DASPECT([1 1 1])

```

```

FIGURE(3)
[ C3, H3 ] = CONTOURF ( X, Y, POUT, NO_LEVELS, 'LINESTYLE', 'NONE' );
COLORMAP ( JET );
XLABEL ( 'X', 'FONTNAME', 'HELVETICA', 'FONTWEIGHT',
'BOLD', 'FONTSIZE', 10 );
YLABEL ( 'Y', 'FONTNAME', 'HELVETICA', 'FONTWEIGHT',
'BOLD', 'FONTSIZE', 10, 'ROTATION', 0 );

```

```

TITLE ( 'PRESSURE FIELD', 'FONTNAME', 'HELVETICA',
'FONTWEIGHT', 'BOLD', 'FONTSIZE', 16 );
HOLD ON
SWITCH (PROBLEM)
CASE 'CYLINDER'
  FILL(CIRCLEX,CIRCLEY,'W')
CASE 'STEP'
  FILL(RECTANGX,RECTANGY,'W')
END
DASPECT([1 1 1])

FIGURE(4)
[ C4, H4 ] = CONTOURF ( X, Y, PSIOUT, NO_LEVELS );
COLORMAP ( JET );
XLABEL ( 'X', 'FONTNAME', 'HELVETICA', 'FONTWEIGHT',
'BOLD', 'FONTSIZE', 10 );
YLABEL ( 'Y', 'FONTNAME', 'HELVETICA', 'FONTWEIGHT',
'BOLD', 'FONTSIZE', 10, 'ROTATION', 0 );
TITLE ( 'STREAM FUNCTION', 'FONTNAME', 'HELVETICA',
'FONTWEIGHT', 'BOLD', 'FONTSIZE', 16 );
HOLD ON
SWITCH (PROBLEM)
CASE 'CYLINDER'
  FILL(CIRCLEX,CIRCLEY,'W')
CASE 'STEP'
  FILL(RECTANGX,RECTANGY,'W')
END
DASPECT([1 1 1])

FIGURE(6)
[ C4, H4 ] = CONTOURF ( X, Y, ZETAOUT, NO_LEVELS, 'LINESTYLE', 'NONE'
);
COLORMAP ( JET );
XLABEL ( 'X', 'FONTNAME', 'HELVETICA', 'FONTWEIGHT',
'BOLD', 'FONTSIZE', 10 );
YLABEL ( 'Y', 'FONTNAME', 'HELVETICA', 'FONTWEIGHT',
'BOLD', 'FONTSIZE', 10, 'ROTATION', 0 );
TITLE ( 'VORTICITY', 'FONTNAME', 'HELVETICA', 'FONTWEIGHT', 'BOLD',
'FONTSIZE', 16 );
HOLD ON
SWITCH (PROBLEM)
CASE 'CYLINDER'
  FILL(CIRCLEX,CIRCLEY,'W')
CASE 'STEP'
  FILL(RECTANGX,RECTANGY,'W')
END
DASPECT([1 1 1])

SWITCH (VECTORPLOT)
CASE 'Y'
FIGURE(5)
FOR I=1:10
  YI = 0:1:NY;
  XI = (I/10)*(NX)*ONES(SIZE(YI));
  UI=GRIDDATA(X,Y,UOUT,XI,YI);
  VI=GRIDDATA(X,Y,VOUT,XI,YI);
  QUIVER ( XI, YI, UI, VI, 2 );
  COLORMAP JET;

```

```

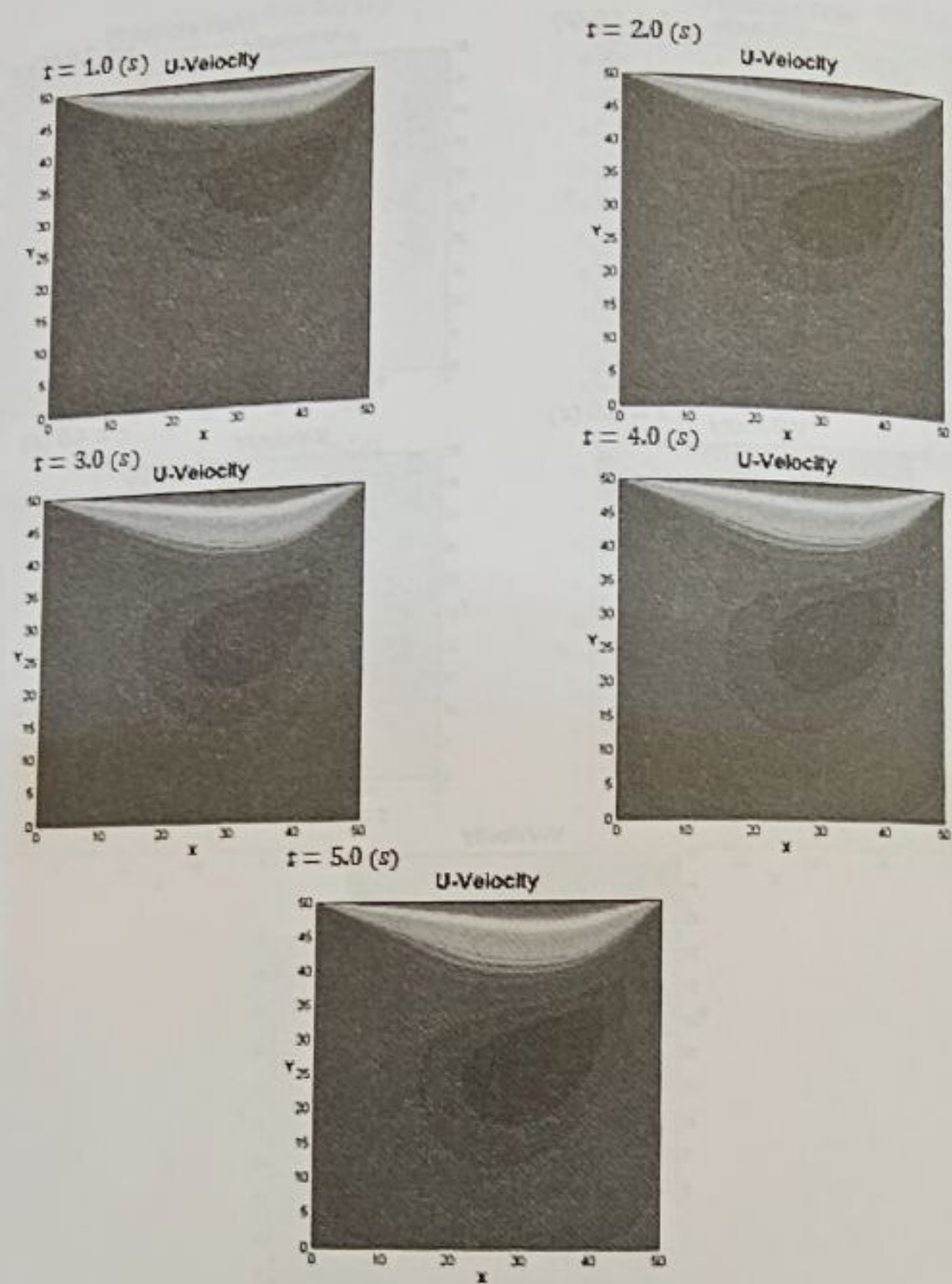
XLABEL ( 'X', 'FONTNAME', 'HELVETICA', 'FONTWEIGHT',
'BOLD', 'FONTSIZE', 10 );
YLABEL ( 'Y', 'FONTNAME', 'HELVETICA', 'FONTWEIGHT',
'BOLD', 'FONTSIZE', 10, 'ROTATION', 0 );
TITLE ( 'VELOCITY VECTORS', 'FONTNAME', 'HELVETICA',
'FONTWEIGHT', 'BOLD', 'FONTSIZE', 16 );
HOLD ON
END
SWITCH ( PROBLEM )
CASE 'CYLINDER'
FILL(CIRCLEX,CIRCLEY,'W')
CASE 'STEP'
FILL(RECTANGX,RECTANGY,'W')
CASE 'CAVITY'
RETURN
END
DASPECT([1 1 1])
XLIM([0 NX])
YLIM([0 NY])
END

FPRINTF ( 1, '\N' );
FPRINTF ( 1, 'PGRG2DNAVISTO_CONTOUR:\N' );
FPRINTF ( 1, ' END OF EXECUTION.\N' );

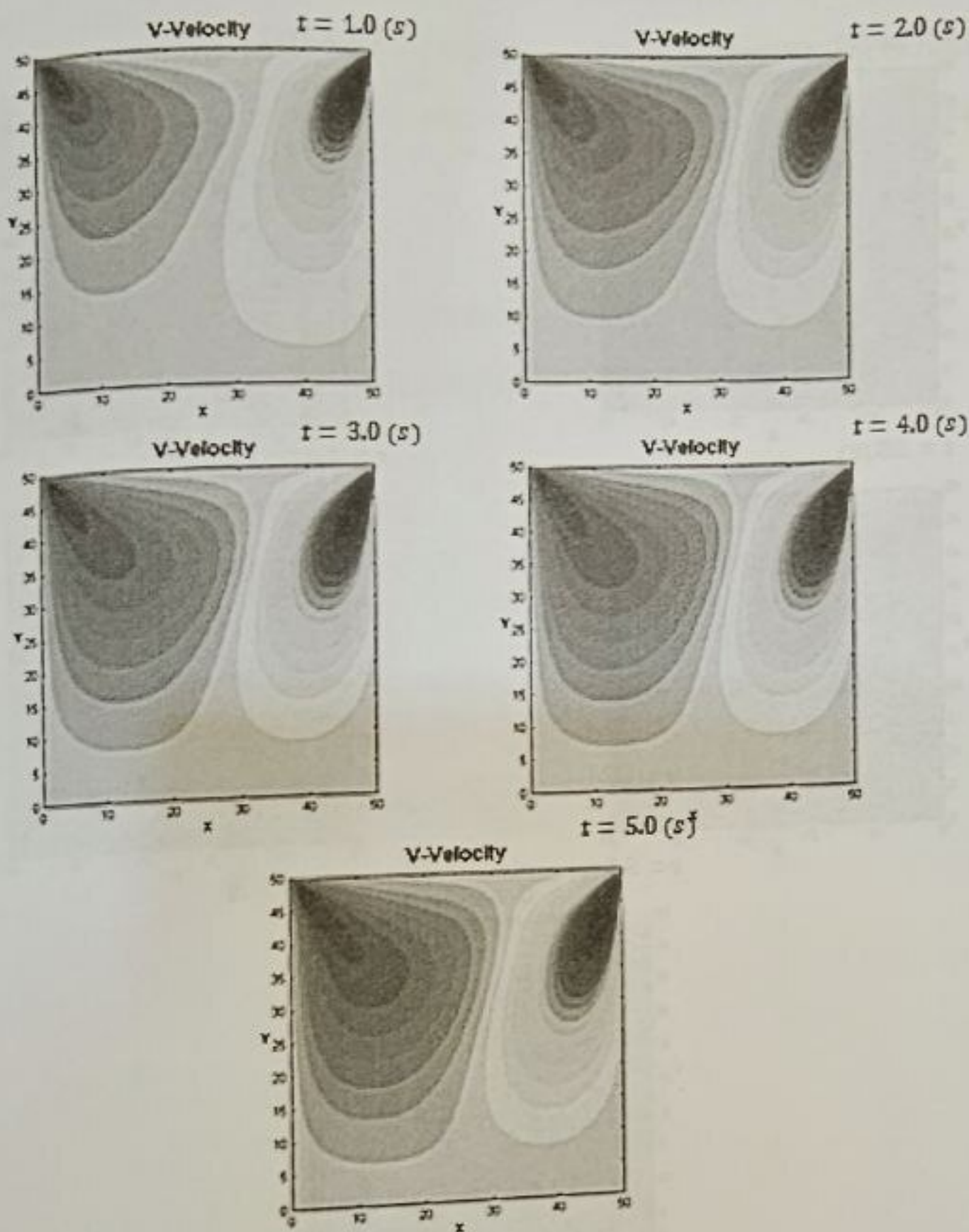
```

---

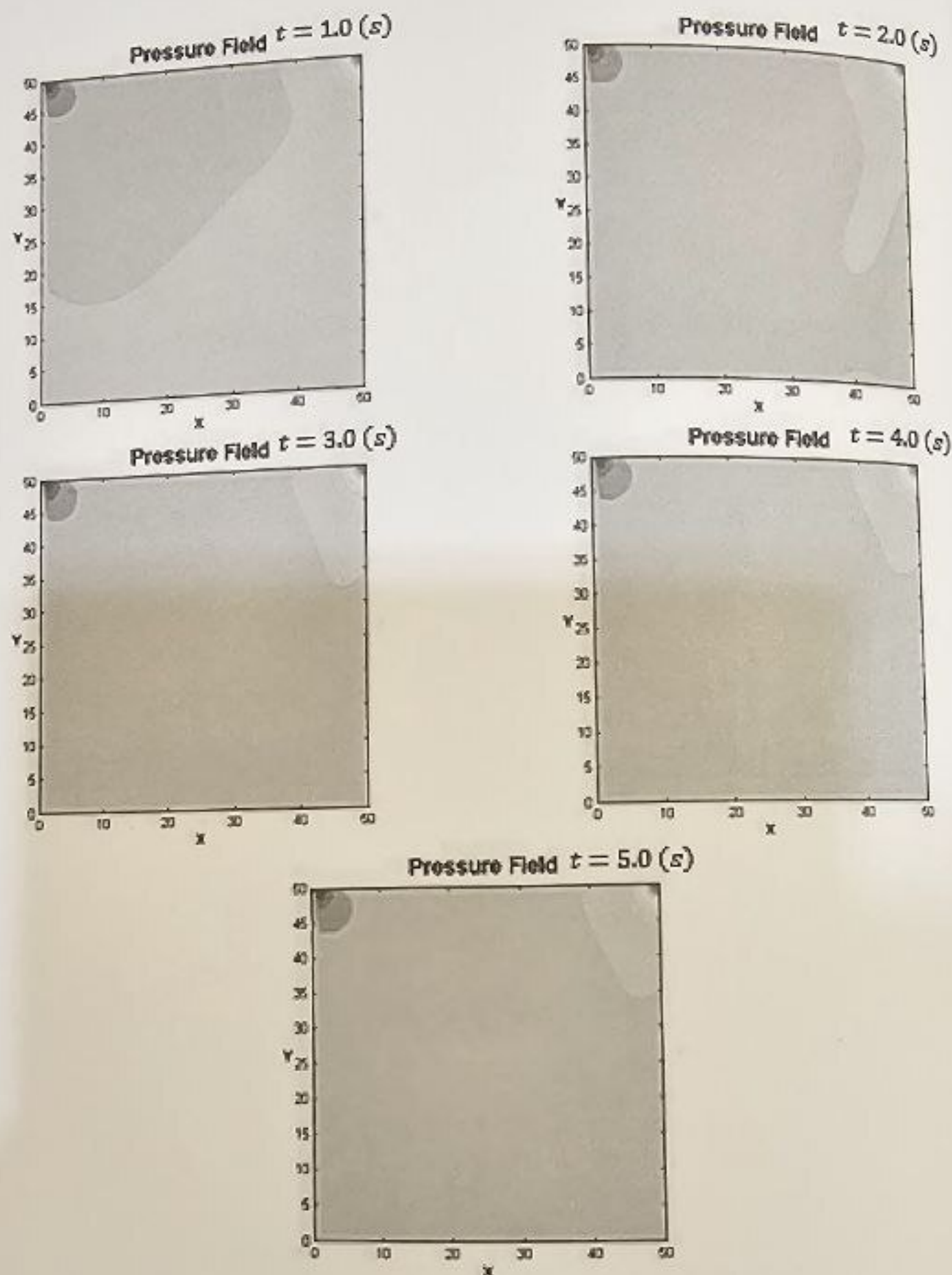




شکل (۲۵-۱۲): کانتورهای سرعت  $u$  در زمان‌های ۱، ۲، ۳، ۴ و ۵ ثانیه ( $Re = 100$ )



شکل (۱۲-۲۶): کانتورهای سرعت  $v$  در زمان‌های ۱، ۲، ۳، ۴ و ۵ ثانیه ( $Re = 100$ )



$(Re = 100)$

شکل (۲۷-۱۲): کانتورهای فشار  $p$  در زمان‌های ۱، ۲، ۳، ۴ و ۵ ثانیه  $(Re = 100)$

$t = 1.0 (s)$

$t = 2.0 (s)$

Date:

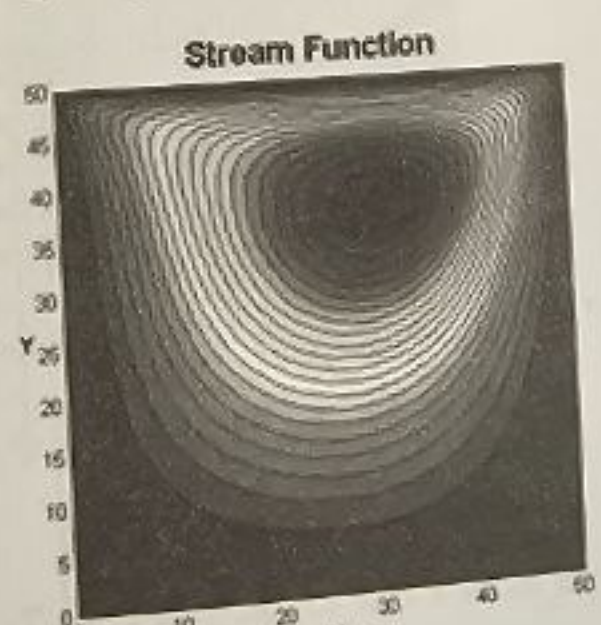
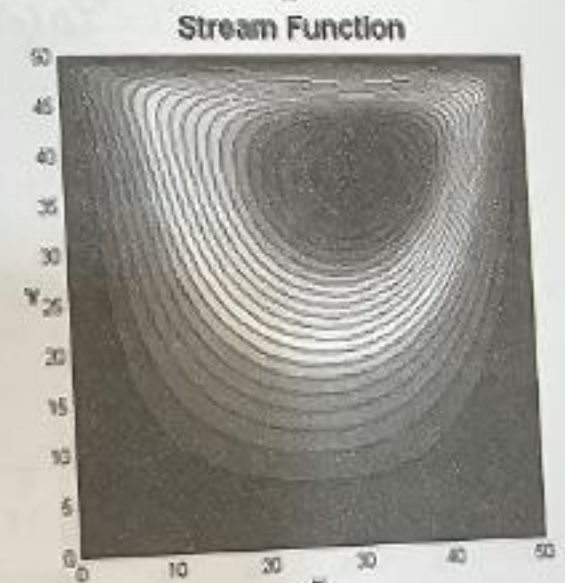
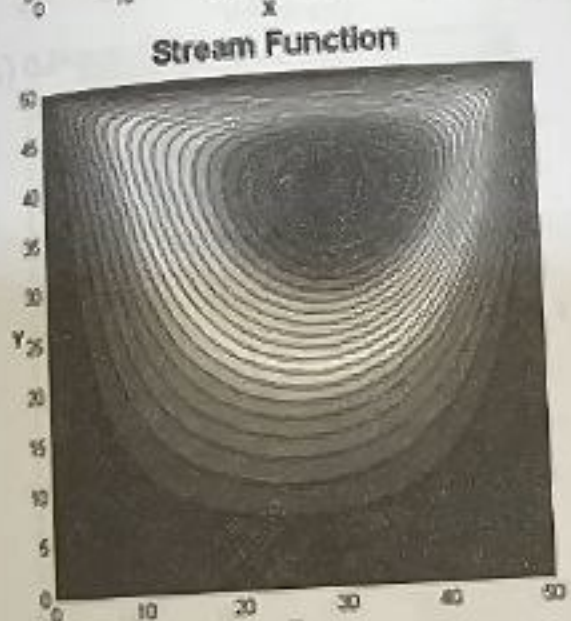
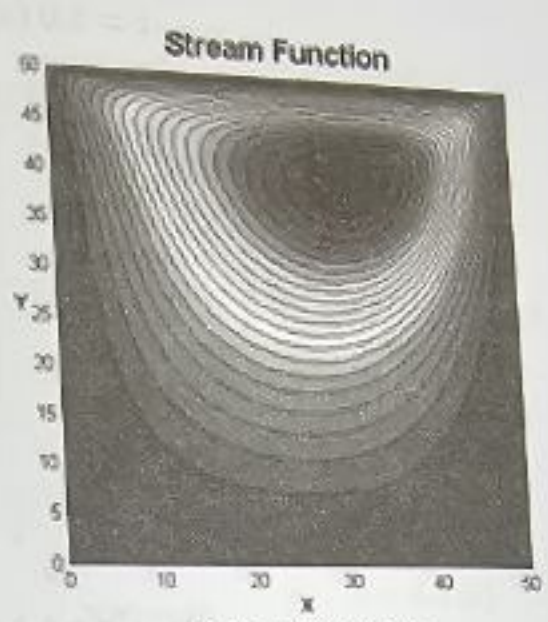
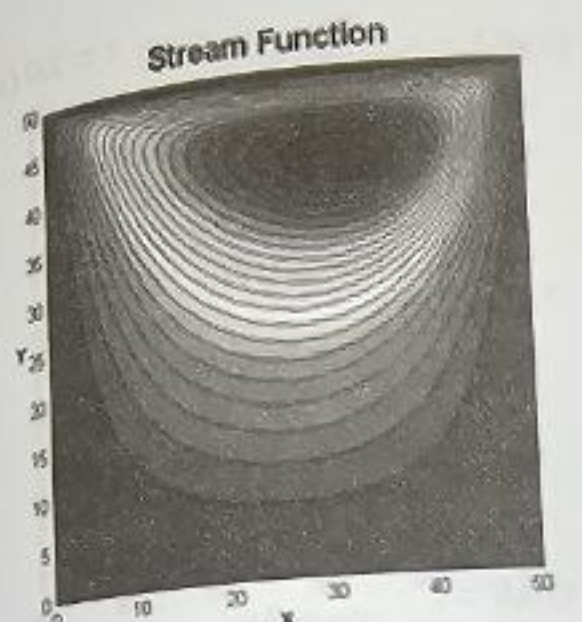
Welder(s)

WT FILLING  
R / C

67

دینامیک سیالات محاسباتی کاربرنی

۱۰۴۲



شکل (۱۲-۲۸): خطوط جریان  $\psi$  در زمان‌های ۱، ۲، ۳، ۴، ۵ ثانیه ( $Re = 100$ )

حل معادلات

$D (s)$

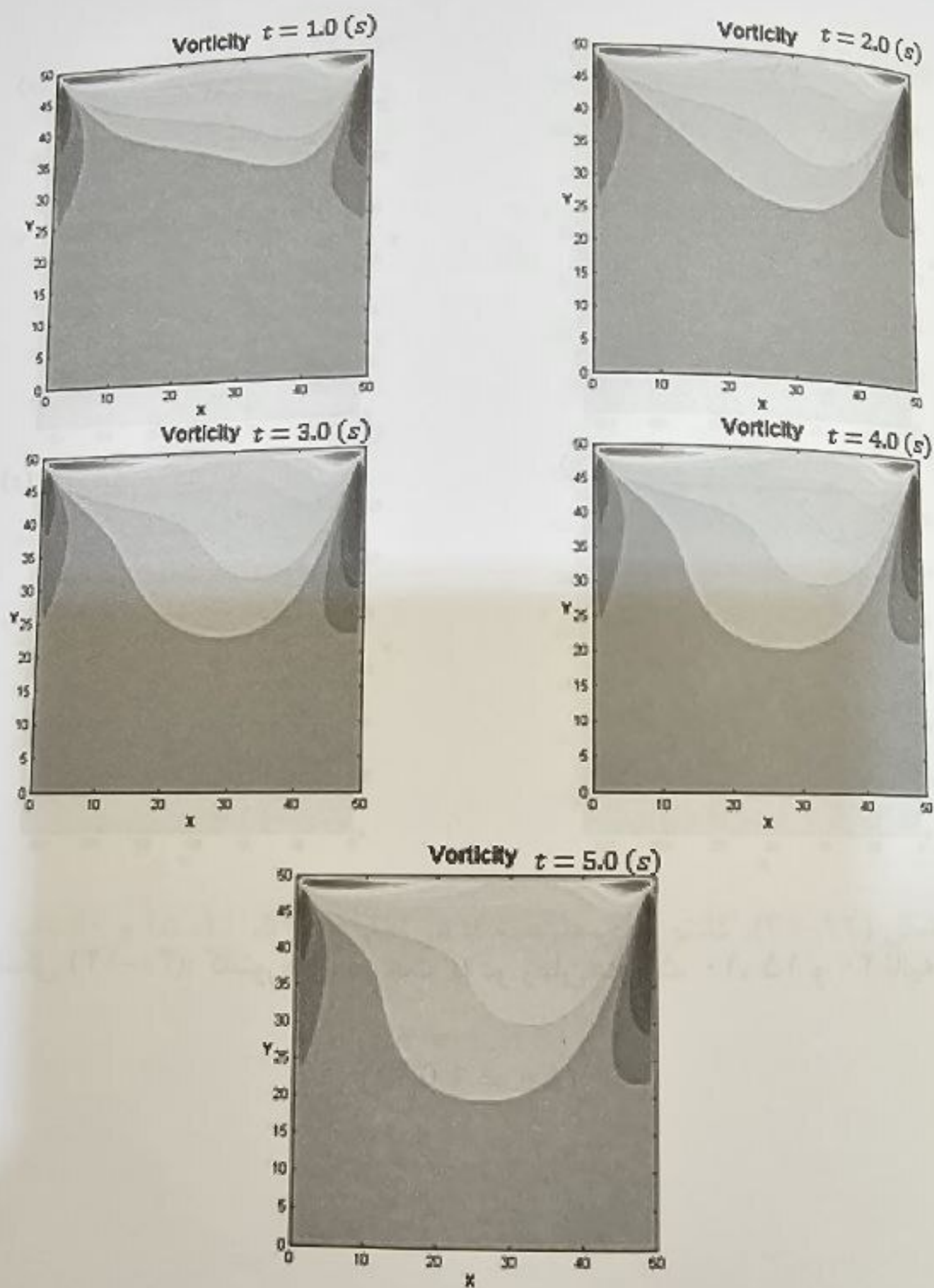
$D (s)$

$D (s)$

$D (s)$

$D (s)$

شکل



شکل (۱۲-۲۹): کانتورهای ورتیسیته  $\zeta$  در زمان‌های ۱، ۲، ۳، ۴ و ۵ ثانیه

$(Re = 1$

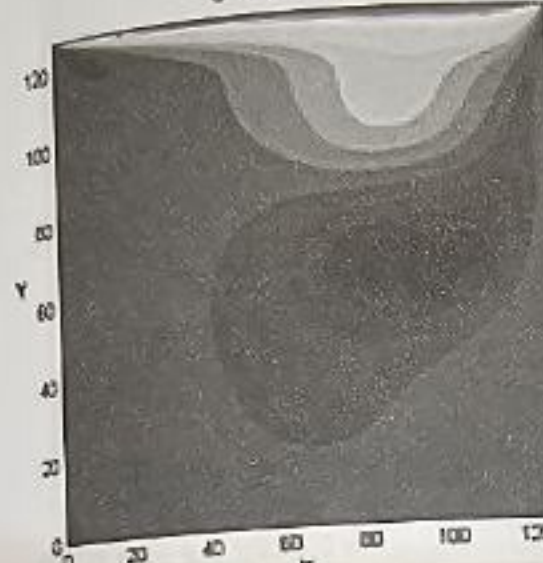
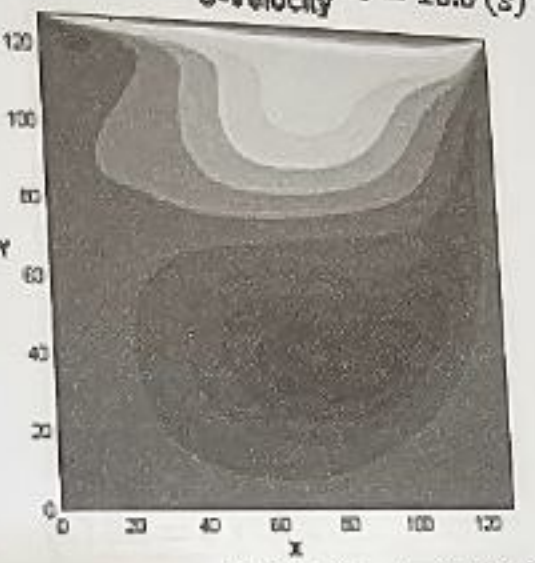
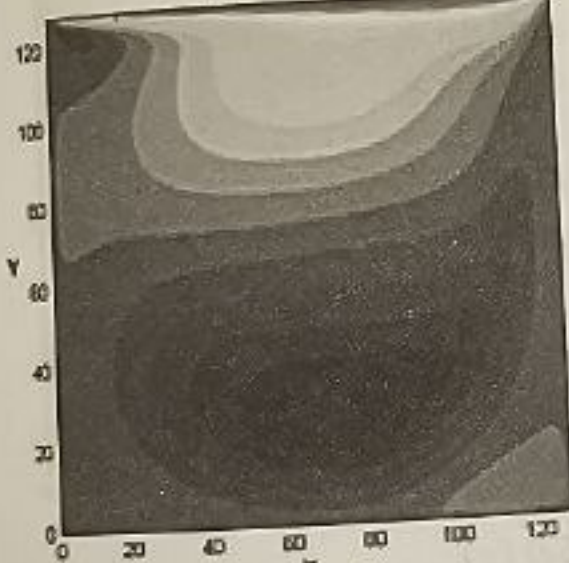
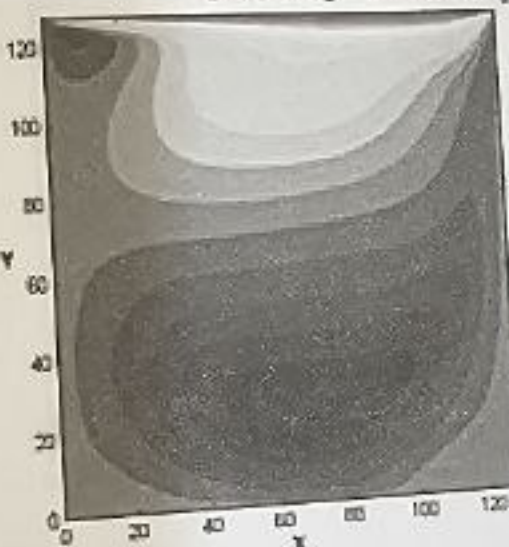
$(Re = 100)$

## دینامیک سیالات محاسباتی کاربردی

۱۰۴۴

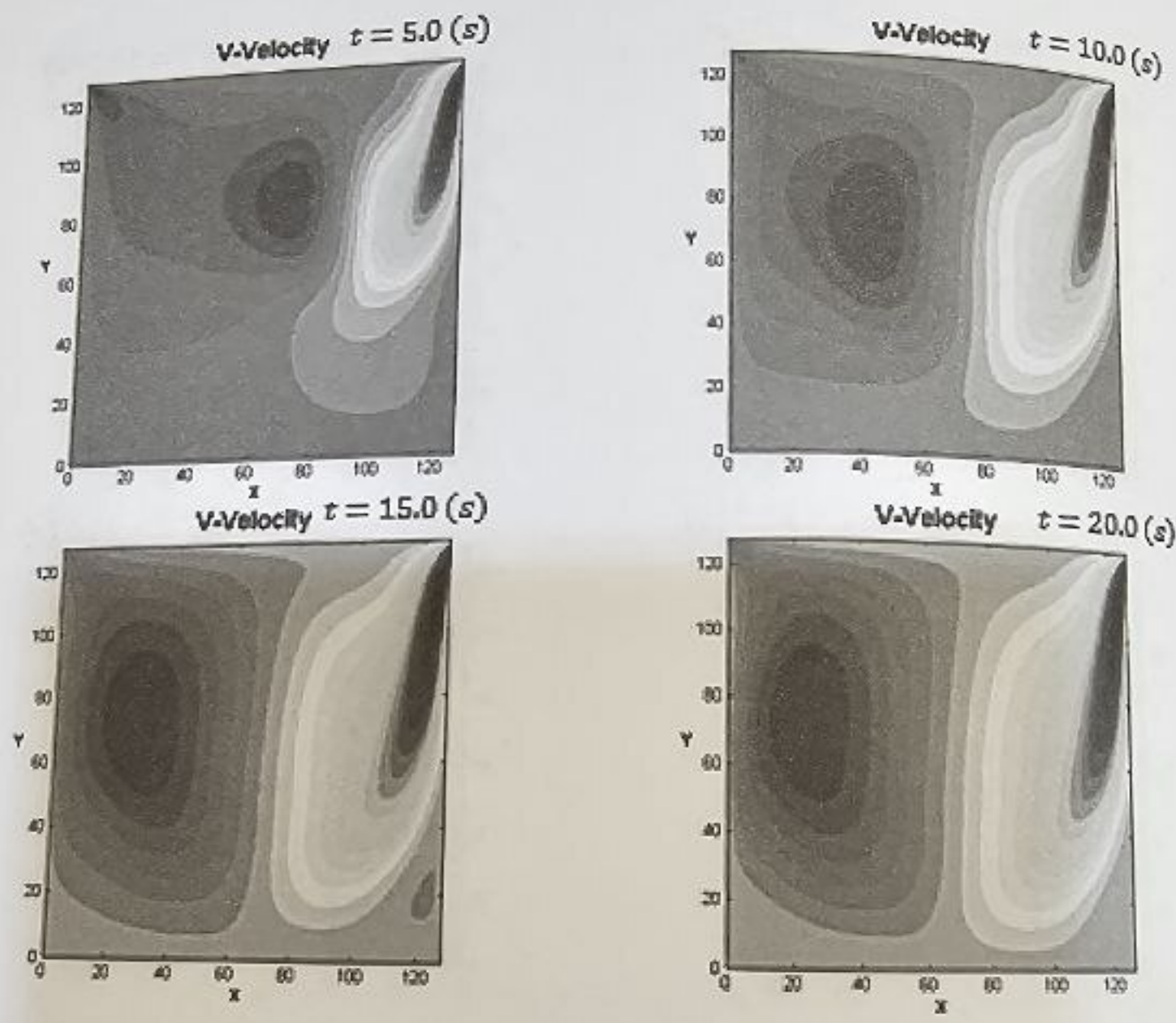
حل معادلا

(s)

U-Velocity  $t = 5.0$  (s)U-Velocity  $t = 10.0$  (s)U-Velocity  $t = 15.0$  (s)U-Velocity  $t = 20.0$  (s)

شکل (۱۲-۳۰): کانتورهای سرعت  $u$  در زمان‌های ۵، ۱۰، ۱۵، ۲۰ ثانیه

$(Re = 1,000)$

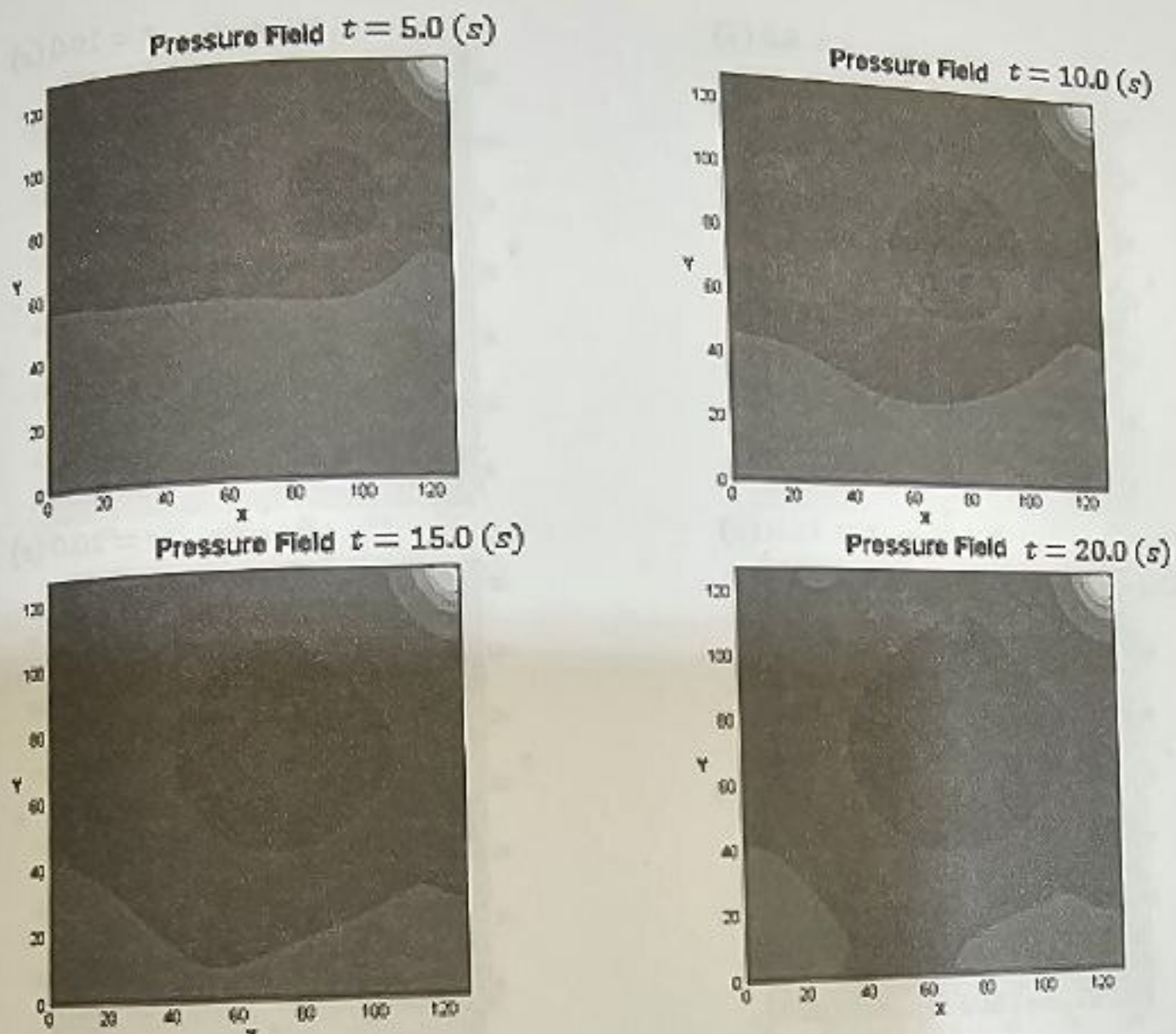


شکل (۱۲-۳۱): کانتورهای سرعت  $v$  در زمان‌های ۵، ۱۰، ۱۵ و ۲۰ ثانیه

ثانیه

$$(Re = 1,000)$$

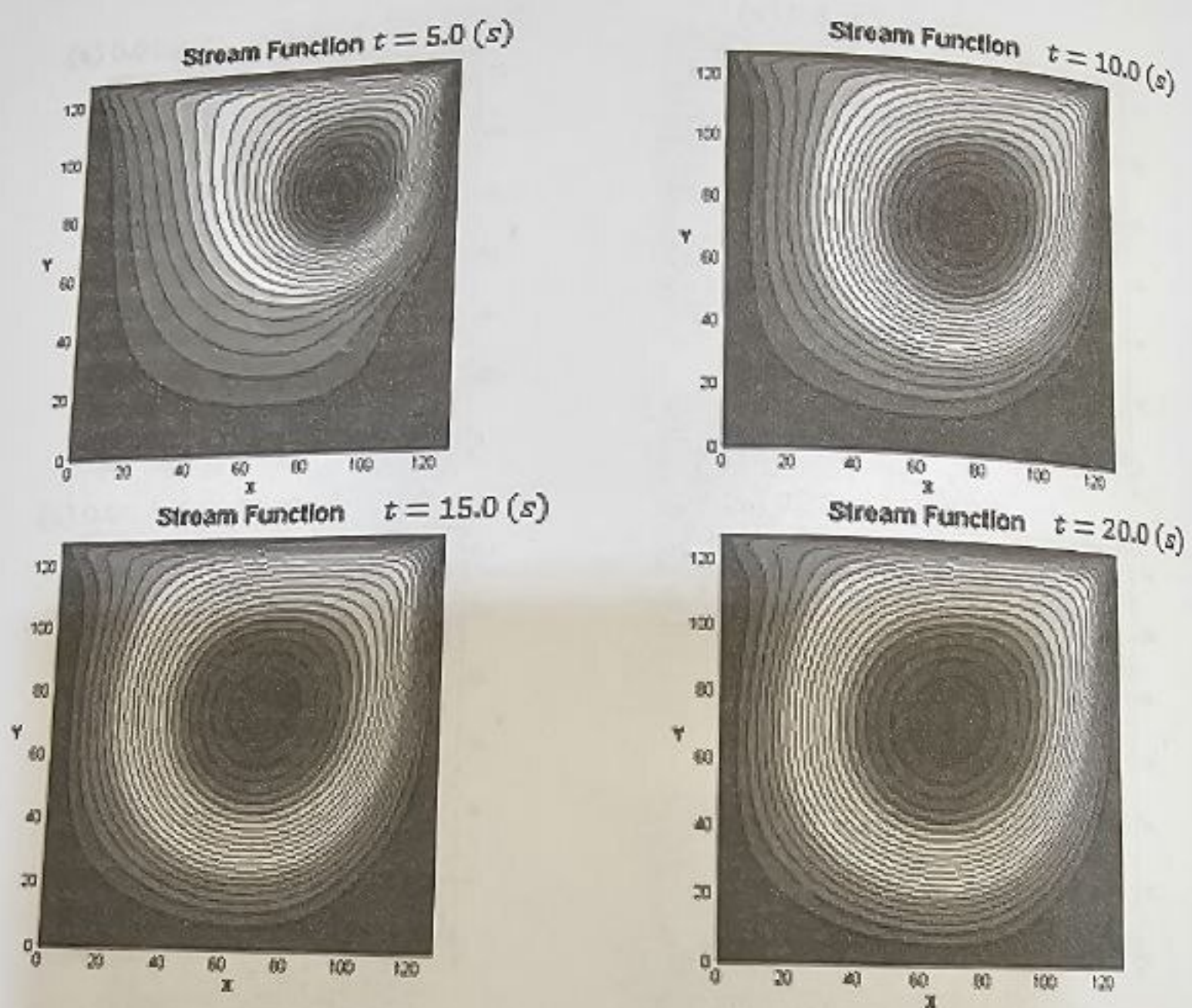
دینامیک سیالات محاسباتی کاربردی



شکل (۱۲-۳۲): کانتورهای فشار  $p$  در زمان‌های ۵، ۱۰، ۱۵ و ۲۰ ثانیه

( $Re = 1,000$ )

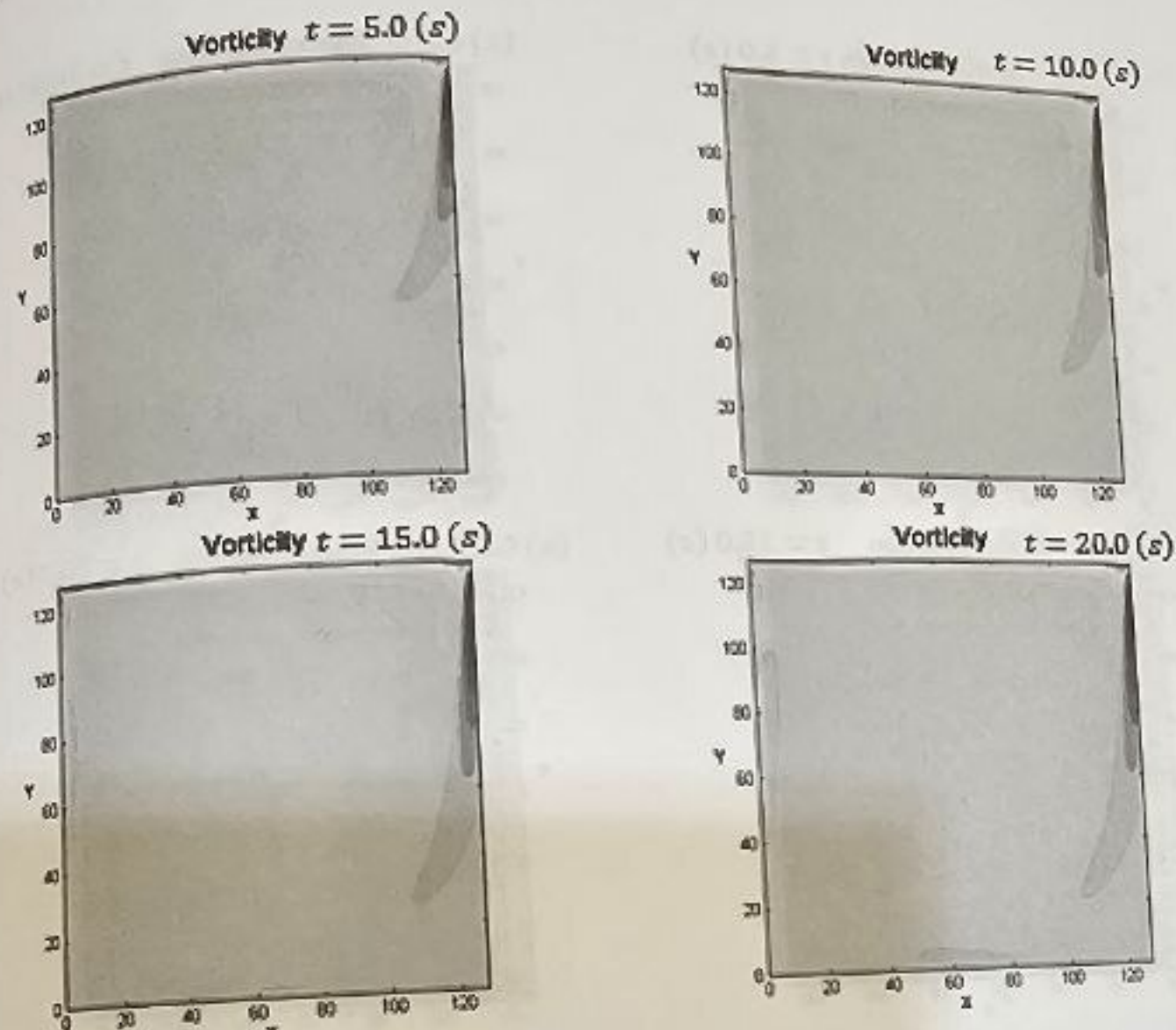
۱۰۴۷



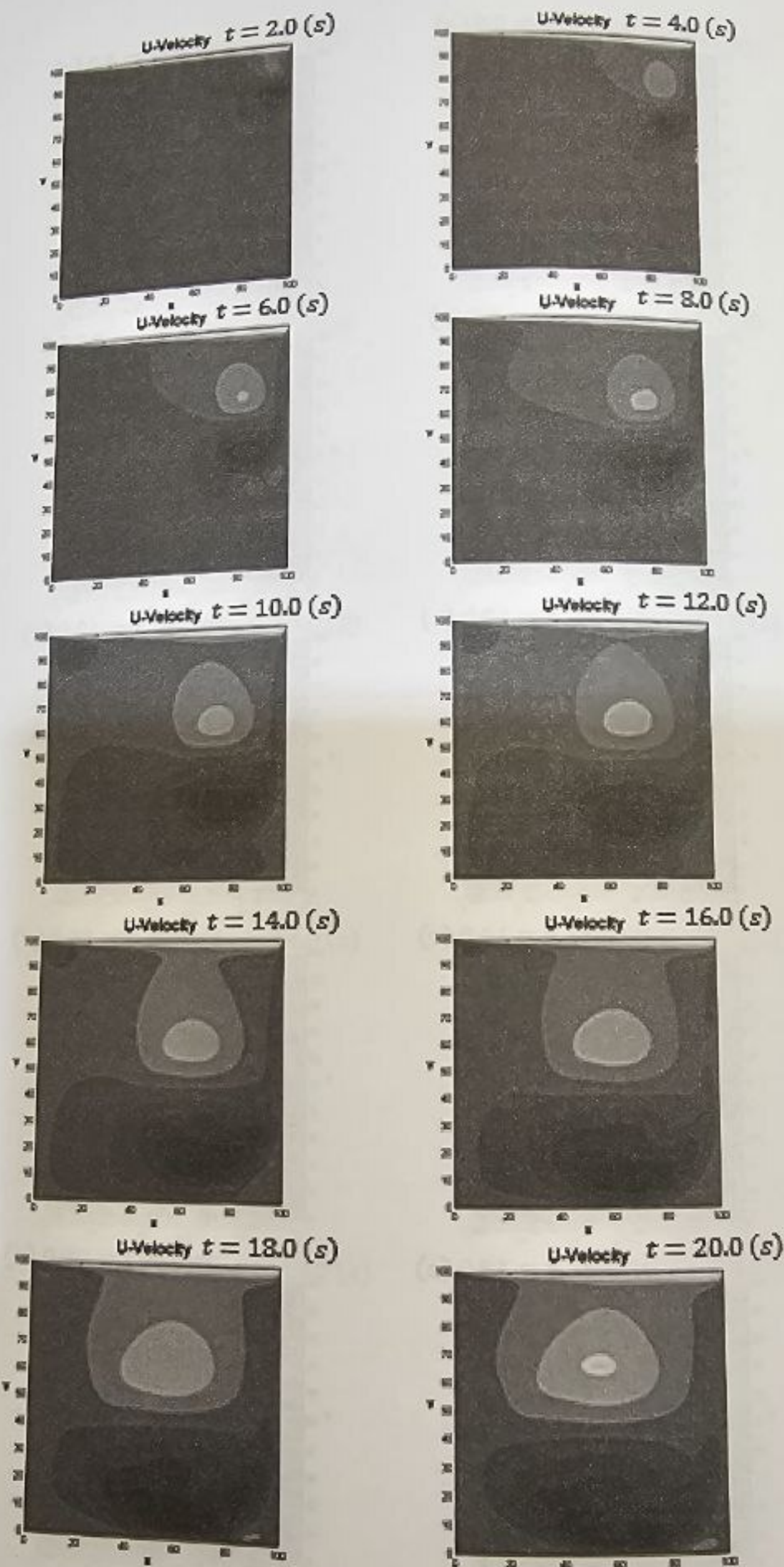
شکل (۱۲-۳۳): خطوط جریان  $\psi$  در زمان‌های ۵، ۱۰، ۱۵ و ۲۰ ثانیه

$(Re = 1,000)$

دینامیک سیالات محاسباتی کاربردی



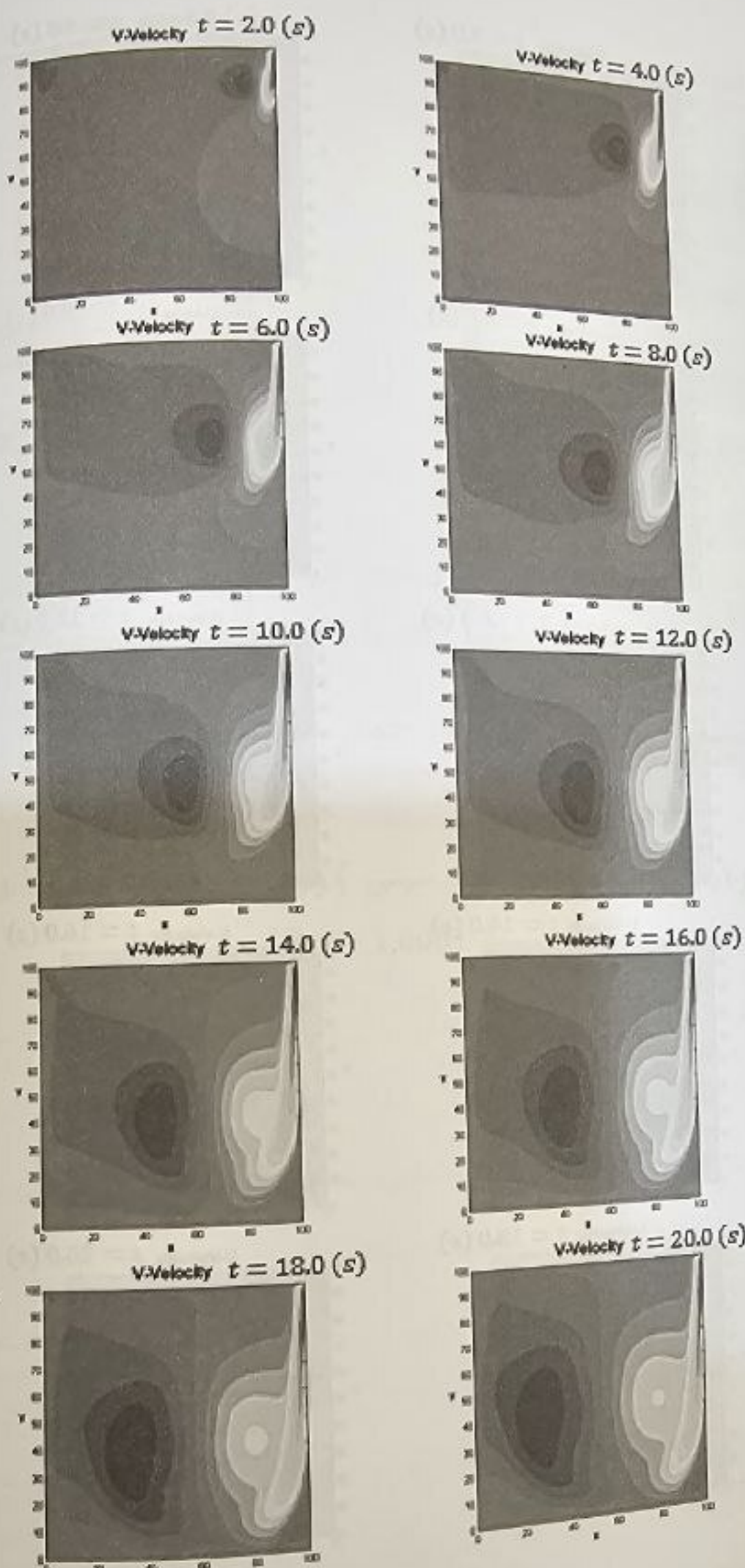
شکل (۱۲-۳۴): کانتورهای ورتیسیتی  $\zeta$  در زمان‌های ۵، ۱۰، ۱۵ و ۲۰ ثانیه  
( $Re = 1,000$ )



۲۰ ثانیه

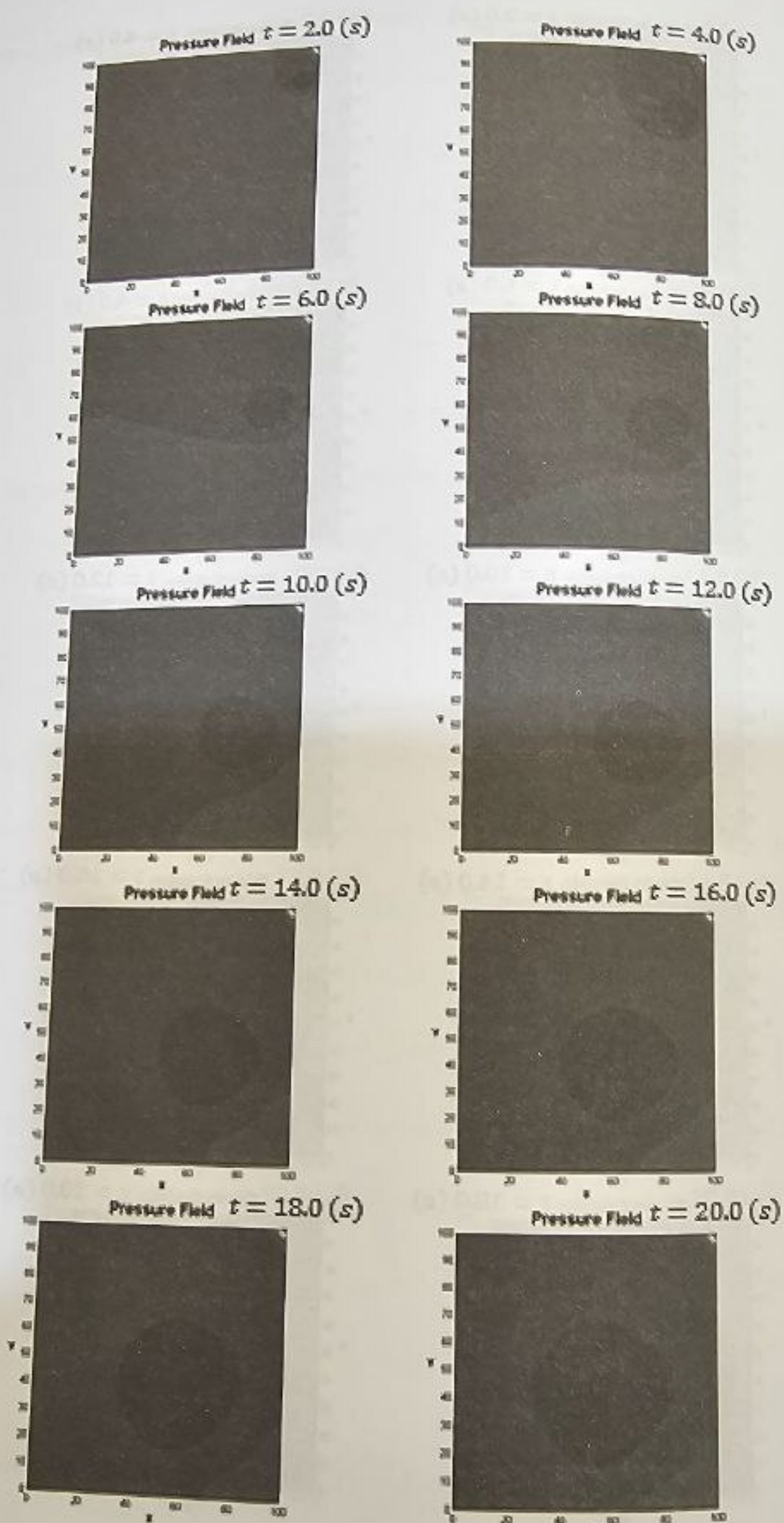
شکل (۳۵-۱۲): کانتورهای سرعت  $u$  در زمان‌های ۲۰ ثانیه ( $Re = 10,000$ )

١٠٥.



شکل (۱۲-۳۶): کانتورهای سرعت  $v$  در زمان‌های ۲ الی ۲۰ ثانیه ( $Re = 10,000$ )

۱۰۵۱

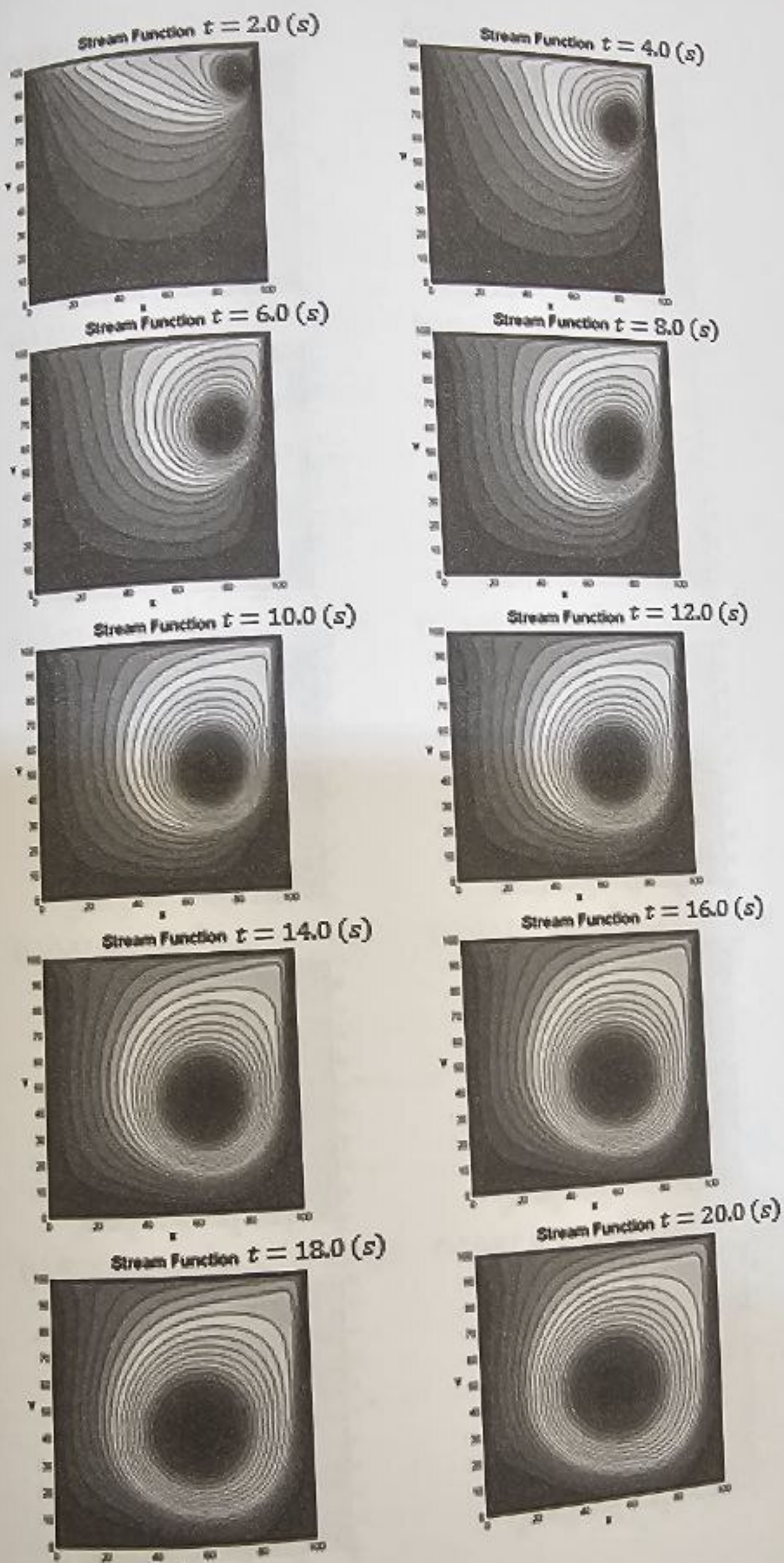


شکل (۱۲-۳۷): کانتورهای فشار  $p$  در زمان‌های ۲ الی ۲۰ ثانیه ( $Re = 10,000$ )

( $Re = 10,000$ )

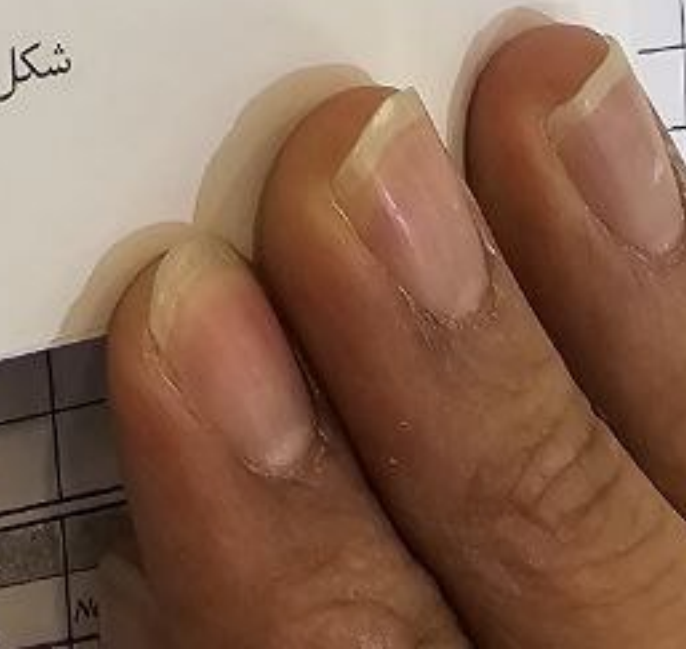
حل معادلات نام

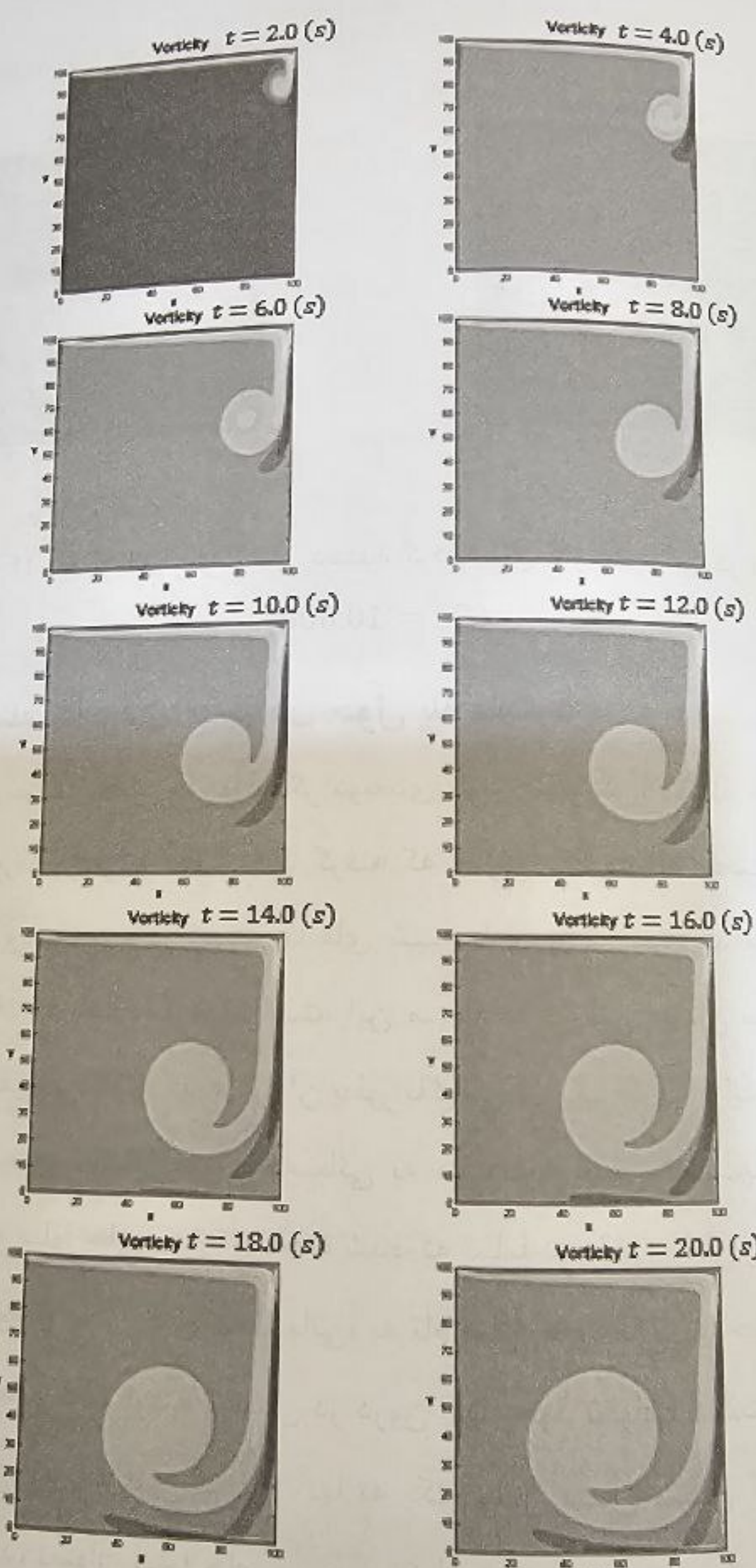
دینامیک سیالات محاسباتی کاربردی



شکل (۲)

شکل (۱۲-۳۸): خطوط جریان  $\psi$  در زمان‌های ۲ الی ۲۰ ثانیه ( $Re = 10,000$ )





شکل (۱۲-۳۹): کانتورهای ورتیسیته  $\zeta$  در زمانهای ۲۰ ثانیه (۲)  $(Re = 10,000)$

دینامیک سیالات محاسباتی کاربردی

۱۰۵۴

Date:

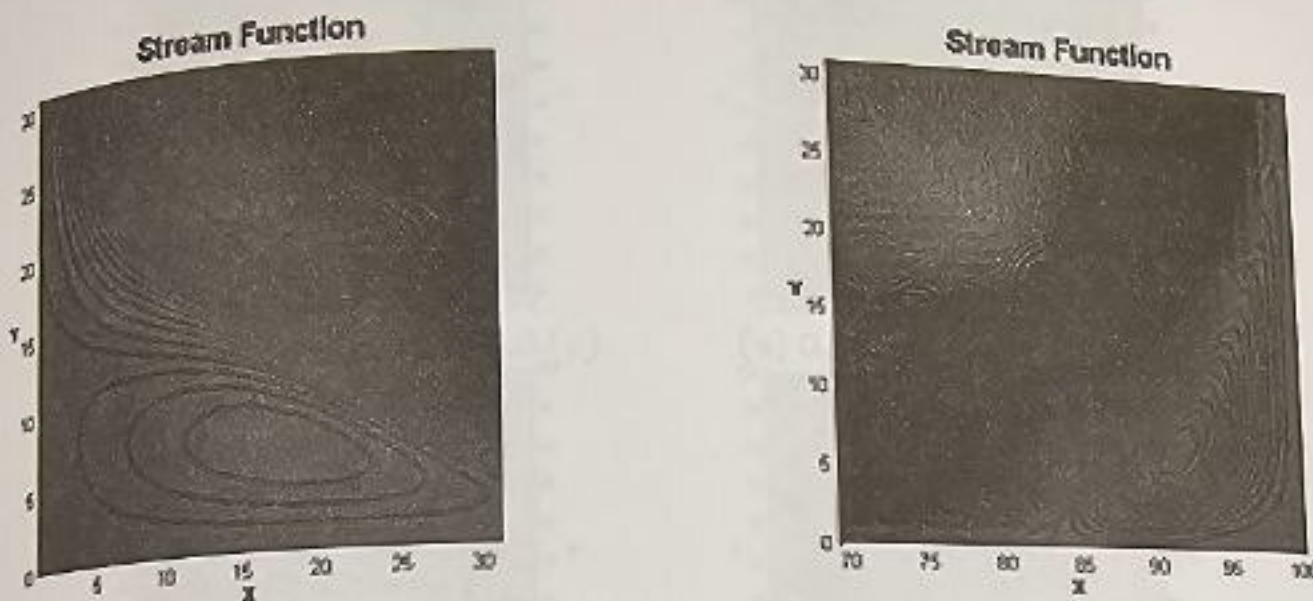
ay

Date:

Page:

Welder(s)		
HOT	FILLING	CAP
C	R / C	C

76767



شکل (۱۲-۴۰): خطوط جریان نشان دهنده گردابهای ثانویه چپگرد در نمایی نزدیک ( $Re = 10,000$ )

#### ۴-۴-۶ مسئله کاربردی ۶: جریان حول پله عقبگرد

عنوان دومین مسئله قابل حل با حلگر دوبعدی ناویر-استوکس، مسئله جریان بر روی پله عقبگرد مورد بررسی و تحلیل قرار گرفته که عنوان یک مسئله صحتسنجی بسیار شناخته شده و پرکاربرد در زمینه کدهای شبیه‌سازی رفتار سیالات، مطرح می‌شود همانطور که قبلًا هم اشاره گردیده است، این مسئله به بررسی جریان سیال در داخل یک کanal مستقیم پرداخته که عرض آن بطور ناگهانی در یک طرف افزایش می‌یابد در کد عددی حاضر، سلول‌های محاسباتی به دو دسته اصلی تقسیم‌بندی می‌شوند دسته اول به نام سلول‌های سیال شناخته شده که تماماً در داخل سیال واقع شده‌اند در مقابل، دسته دوم از سلول‌های محاسباتی، به نام سلول‌های مانع شناخته می‌شوند که تماماً در داخل مانع قرار گرفته و سیال در درون آنها وجود نخواهد داشت. در این میان سلول‌های مانعی که حداقل یک لبه آنها به یک سلول سیال متصل گردیده و با آن همسایه می‌باشند، عنوان سلول‌های مرزی در نظر گرفته می‌شوند. بنابر آنچه در پیش قبلاً و در نحوه گسترش‌سازی و اعمال شرایط مرزی مطرح گردید، در اطراف دامنه